

บทที่ 4 ผลการทดลองและการวิเคราะห์

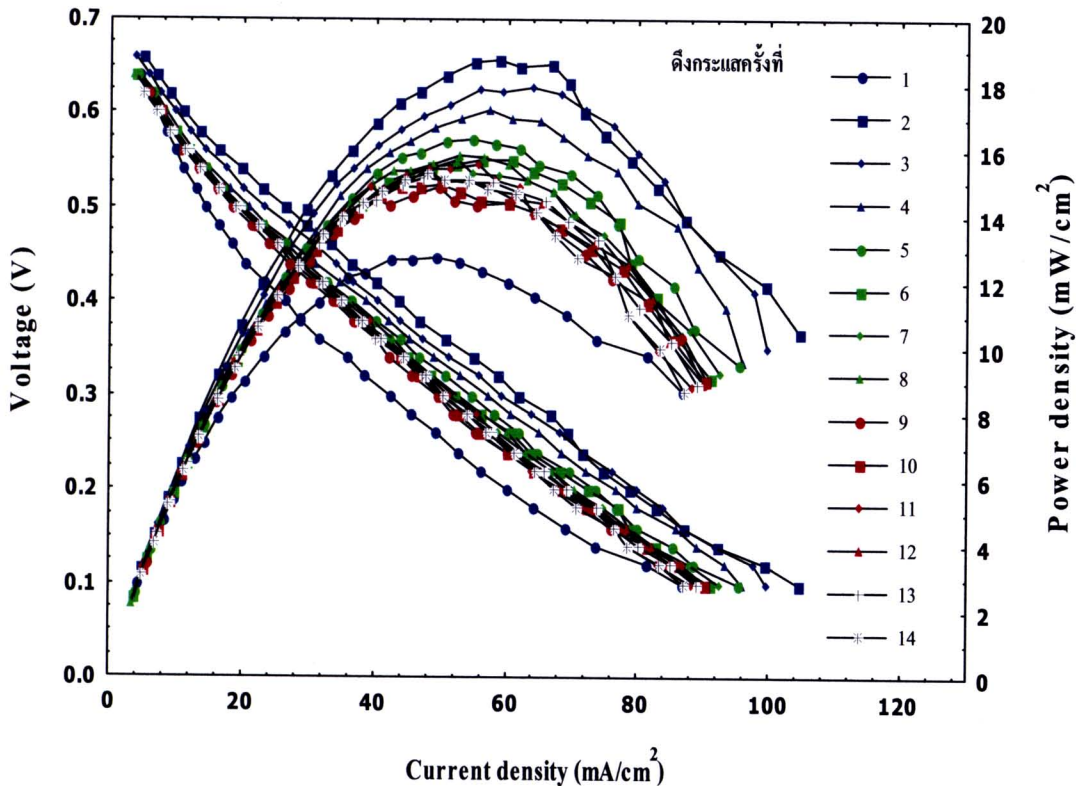
การศึกษาอิทธิพลของสภาวะการกระตุ้นเซลล์ที่มีผลต่อสมรรถนะการทำงานของเซลล์เชื้อเพลิงแบบเօรานอลโดยตรง แบ่งการศึกษาออกเป็น 4 ช่วงได้แก่ 1) การเปรียบเทียบการใช้กําชาไโซโครเจนและสารละลายน้ำเօรานอลในการกระตุ้นข้าวแอโนด 2) ศึกษาอิทธิพลของค่าความต่างศักย์ขณะกระตุ้นเซลล์ และความดันกําชาไโซโครเจน 3) ศึกษาการสับเปลี่ยนกําชาออกซิเจนป้อนเข้าที่ข้าวแอโนดและใช้กําชาไโซโครเจนป้อนเข้าที่ข้าวแคโทด และ 4) การกระตุ้นเซลล์แบบ 3 ขั้นตอน ซึ่งผลการทดลองและการวิเคราะห์แสดงได้ดังนี้

4.1 การเปรียบเทียบการใช้กําชาไโซโครเจนและสารละลายน้ำเօรานอลในการกระตุ้นข้าวแอโนด

4.1.1 การกระตุ้นเซลล์ด้วยกําชาไโซโครเจน

สภาวะที่ใช้ในการกระตุ้นเซลล์ด้วยกําชาไโซโครเจนคือความดันของกําชาไโซโครเจนซึ่งป้อนเข้าที่ข้าวแอโนด ($\text{Pt}_3\text{Sn}_1/\text{C}$) เท่ากับ 2 บรรยายกาศ ความดันของกําชาออกซิเจนซึ่งป้อนเข้าที่ข้าวแคโทด (Pt/C) เท่ากับ 2 บรรยายกาศ ดึงกระแสที่ความดันคงที่ที่ 0.6 V อุณหภูมิของเซลล์ 80°C

ในการทดสอบเซลล์เชื้อเพลิงเดี่ยว (Single cell Testing) ของเซลล์เชื้อเพลิงที่ใช้กําชาไโซโครเจนกระตุ้นข้าวแอโนดหลังจากที่เซลล์ผ่านการกระตุ้นแล้วพบว่า เซลล์เชื้อเพลิงให้ความหนาแน่นกำลังไฟฟ้า 12.79 mW/cm^2 ในกรณีกระตุ้นร่องแรก หลังจากนั้นเมื่อเชื่อมเพลิง (สารละลายน้ำเօรานอล) เข้าสู่เซลล์ได้อย่างทั่วถึงแล้ว เซลล์เชื้อเพลิงจะให้ความหนาแน่นกำลังไฟฟ้ามากขึ้นและมีค่าสูงสุดเท่ากับ 18.75 mW/cm^2 ในการดึงครั้งที่สอง หลังจากนั้นสมรรถนะการทำงานของเซลล์จะตกลงเรื่อยๆ จนความหนาแน่นกำลังไฟฟ้าที่ได้มีค่าต่ำสุดเท่ากับ 14.88 mW/cm^2 ในกรณีกระตุ้นร่องที่เก้า หลังจากนั้นค่าความหนาแน่นกำลังไฟฟ้ามีการเปลี่ยนแปลงไม่มากนักในการดึงกระตุ้นต่อๆมา และเซลล์เชื้อเพลิงที่ได้รับการกระตุ้นเซลล์ด้วยกําชาไโซโครเจนนี้สามารถผลิตกระแสไฟฟ้าได้สูงสุดที่ 104.6 mA/cm^2 ตามรูปที่ 4.1

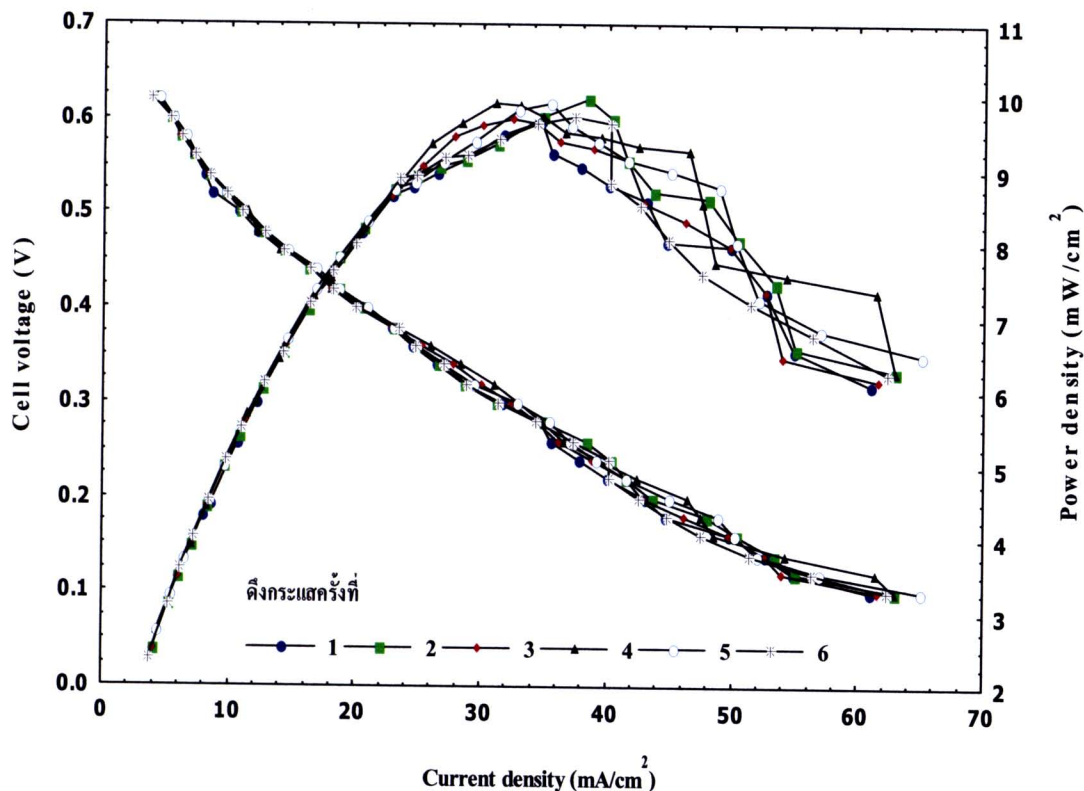


รูปที่ 4.1 กราฟโพลาริโซชันและการกำลังไฟฟ้าของเซลล์เชื้อเพลิงที่ได้รับการกระตุ้นเซลล์ด้วยกําชไสโดยเรجن (เซลล์ 1)

4.1.2 การกระตุ้นเซลล์ด้วยสารละลายน้ำออกซิเจน

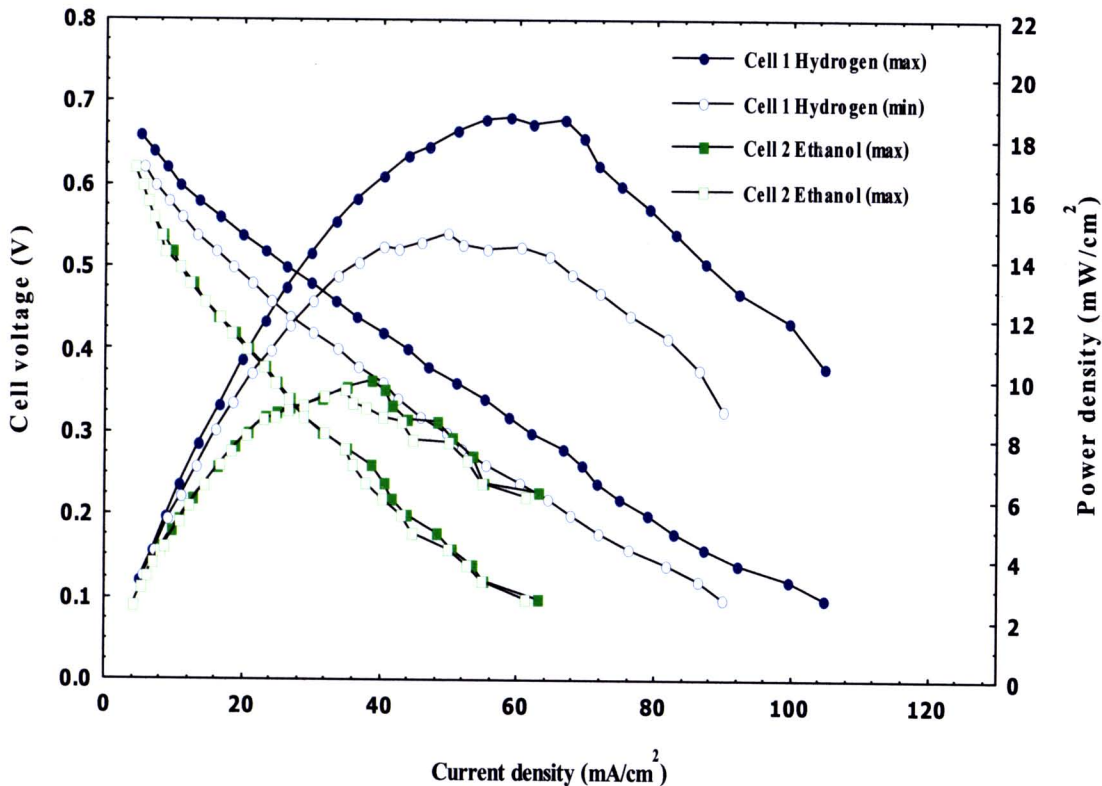
สภาวะที่ใช้ในการกระตุ้นเซลล์ด้วยสารละลายน้ำออกซิเจนคือความเข้มข้นของสารละลายน้ำออกซิเจนซึ่งป้อนเข้าที่ขั้วแอนoden ($\text{Pt}_x\text{Sn}_y/\text{C}$) เท่ากับ $1 \text{ mol}/\text{dm}^3$ ความดันของกําชออกซิเจนซึ่งป้อนเข้าที่ขั้วแคโทಡ (Pt/C) เท่ากับ 2 บรรยากาศ ดึงกระแสที่ความดันคงที่ที่ 0.3 V อุณหภูมิของเซลล์ 90°C

ในการทดสอบเซลล์เชื้อเพลิงเดี่ยว (Single cell testing) ของเซลล์เชื้อเพลิงที่ใช้สารละลายน้ำออกซิเจนขั้วแอนoden หลังจากที่เซลล์ได้รับการกระตุ้นแล้วพบว่า เซลล์เชื้อเพลิงให้ค่าความหนาแน่นกำลังไฟฟ้าในการดึงกระแสครั้งแรกเท่ากับ $9.69 \text{ mW}/\text{cm}^2$ และให้ค่าความหนาแน่นกำลังไฟฟ้าสูงสุดเท่ากับ $9.98 \text{ mW}/\text{cm}^2$ ในกรณีที่สอง แต่ย่างไรก็ตามเซลล์เชื้อเพลิงที่ได้รับการกระตุ้นด้วยสารละลายน้ำออกซิเจนให้ค่าความหนาแน่นกำลังไฟฟ้าที่ไม่ต่างกันมากนักในทุกครั้งของการดึงกระแส กล่าวคือมีการเปลี่ยนแปลงอยู่ในช่วง $9.98 - 9.69 \text{ mW}/\text{cm}^2$ ตามรูปที่ 4.2 สำหรับการผลิตกระแสไฟฟ้าสูงสุดที่ได้เท่ากับ $65.0 \text{ mA}/\text{cm}^2$



รูปที่ 4.2 กราฟโพลาไรเรชันและกราฟกำลังไฟฟ้าของเซลล์เชื้อเพลิงที่ได้รับการกระตุ้นเซลล์ด้วยสารละลายนอตอล (เซลล์ 2)

เมื่อนำผลการทดลองของเซลล์ทั้งสองมาเปรียบเทียบกันจะเห็นว่า เซลล์เชื้อเพลิงที่ได้รับการกระตุ้นเซลล์ด้วยก๊าซไฮโดรเจนมีสมรรถนะการทำงานที่ดีกว่าเซลล์เชื้อเพลิงที่ได้รับการกระตุ้นเซลล์ด้วยสารละลายนอตอลค่อนข้างมาก เมื่อมาพิจารณาถึงปัจจัยที่มีผลต่อสมรรถนะการทำงานของเซลล์เชื้อเพลิงจะพบว่า ปัจจัยหลักๆ ที่ส่งผลอย่างมากต่อสมรรถนะการทำงานของเซลล์เชื้อเพลิงแบบเอทานอลโดยตรงได้แก่ 1) ตัวเร่งปฏิกิริยาที่ใช้ในขั้วแອโนнд 2) อุณหภูมิของเซลล์ 3) การเกิดพิษบนตัวเร่งปฏิกิริยา (Poisson) 4) การแพร่ผ่านเนื้อเยื่อของสารละลายนอตอล (Ethanol crossover) และ 5) ลักษณะทางกายภาพของ Membrane Electrode Assembly (MEA) จากปัจจัยทั้ง 5 ข้อนี้จะเห็นว่า ปัจจัยของตัวเร่งปฏิกิริยาที่ใช้ในขั้วแອโนндและอุณหภูมิของเซลล์นั้นไม่ใช่สาเหตุที่ทำให้มีความแตกต่างกันของสมรรถนะการทำงานของเซลล์ทั้งสอง เนื่องจากเซลล์ทั้งสองใช้ตัวเร่งปฏิกิริยาเดียวกันคือ $\text{Pt}_3\text{Sn}_1/\text{C}$ และทำการทดสอบเซลล์เชื้อเพลิงเดี่ยวที่อุณหภูมิ 90°C เช่นเดียวกัน

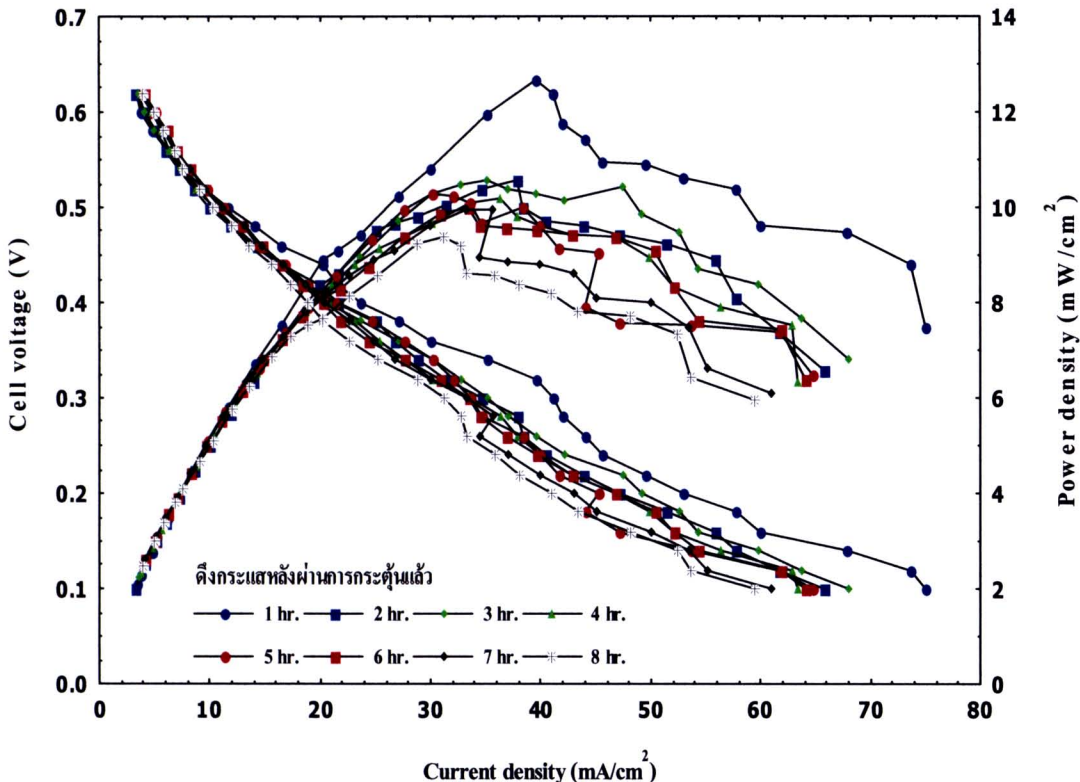


รูปที่ 4.3 กราฟโพลาไรเซชันและกราฟกำลังไฟฟ้าของเซลล์เชื้อเพลิงที่ได้รับการกระตุ้นเซลล์ด้วยก๊าซไฮdroเจน (เซลล์ 1) เปรียบเทียบกับของเซลล์เชื้อเพลิงที่ได้รับการกระตุ้นเซลล์ด้วยสารละลายน้ำมัน (เซลล์ 2)

เมื่อพิจารณาในปัจจัยต่อมาคือ การเกิดพิษบนตัวเร่งปฏิกิริยาและการแพร่ผ่านเนื้มเยื่อบรนของสารละลายน้ำมัน สามารถพิจารณาได้ว่าปัจจัยทั้งสองนี้เกิดขึ้นขณะทำการทดสอบเซลล์เชื้อเพลิงเดียวและส่งผลทำให้สมรรถนะการทำงานของเซลล์เชื้อเพลิงลดลง แต่จะเห็นว่าสมรรถนะการทำงานของเซลล์เชื้อเพลิงที่ได้รับการกระตุ้นเซลล์ด้วยสารละลายน้ำมันนั้นไม่ลดลงในขณะทำการทดสอบเซลล์เชื้อเพลิงเดียวตามรูปที่ 4.2 เนื่องจากสมรรถนะการทำงานของเซลล์เชื้อเพลิงที่ได้รับการกระตุ้นเซลล์ด้วยสารละลายน้ำมันนี้มีค่าลดลงมากตั้งแต่ช่วงของการกระตุ้นเซลล์แล้วตามรูปที่ 4.4

จากรูปที่ 4.4 จะเห็นว่า สมรรถนะการทำงานของเซลล์เชื้อเพลิงที่ได้รับการกระตุ้นเซลล์ด้วยสารละลายน้ำมันนี้มีค่าลดลงจาก 12.67 mW/cm^2 เหลือ 9.36 mW/cm^2 ดังนั้นจึงทำให้ไม่เห็นการเปลี่ยนแปลงของสมรรถนะการทำงานของเซลล์ในการทดสอบเซลล์เชื้อเพลิงเดียว เมื่อกลับมาพิจารณาปัจจัยของการเกิดพิษบนตัวเร่งปฏิกิริยาและการแพร่ผ่านเนื้มเยื่อบรนของสารละลายน้ำมัน อีกครั้ง พบร่วมกับการทดสอบเซลล์เชื้อเพลิงเดียวของทั้งเซลล์เชื้อเพลิงที่ได้รับการกระตุ้นเซลล์ด้วยก๊าซไฮdroเจนและเซลล์เชื้อเพลิงที่ได้รับการกระตุ้นเซลล์ด้วยสารละลายน้ำมันนี้กระทำที่

สภาพแวดล้อม ดังนั้นกลไกของการเกิดพิษบนตัวเร่งปฏิกิริยา (Poisson) และการแพร่ผ่านเนื้อเยื่อบรอนของสารละลายน้ำเอทานอล (Ethanol crossover) ควรเกิดขึ้นเมื่อก่อนทั้งสองเซลล์และมีความแตกต่างกันไม่มากนัก ซึ่งจะไม่ทำให้สมรรถนะการทำงานของเซลล์ 1 (กระตุ้นด้วยก๊าซไฮโดรเจน) และเซลล์ 2 (กระตุ้นด้วยสารละลายน้ำเอทานอล) แตกต่างกันอย่างมากเช่นนี้ ดังนั้นปัจจัยที่ทำให้เกิดความแตกต่างอย่างมากของสมรรถนะการทำงานของเซลล์ทั้งสองคือ สภาพทางกายภาพของ MEA



รูปที่ 4.4 กราฟโพลาไรเซชันและกราฟกำลังไฟฟ้าของเซลล์ 2 ระหว่างที่ได้รับการกระตุ้นเซลล์ด้วยสารละลายน้ำเอทานอล

เนื่องจากในขั้นตอนการผลิตเซลล์เชื้อเพลิงนั้น MEA ซึ่งผ่านการอัดด้วยความร้อน (Hot pressing) จะสูญเสียน้ำไปจำนวนหนึ่งทำให้เนื้อเยื่าและแผ่นพิอ่อนในชั้นตัวเร่งปฏิกิริยาแห้งและมีความสามารถในการนำโปรตอนต่ำ (Low photon conductivity) อีกทั้งยังมีสารต่างๆ ซึ่งเกิดขึ้นจากขั้นตอนการผลิตไปปิดกั้นหรือแทรกอยู่ตามรูพรุนของคาร์บอนในชั้นแพร่กระจายก๊าซและชั้นตัวเร่งปฏิกิริยาทำให้การถ่ายเทน้ำสารทำได้ไม่สะดวก เซลล์เชื้อเพลิงจะมีความต้านทานภายในสูง (High internal resistance) นอกจากนี้ Pt ยังสามารถทำปฏิกิริยาได้ช้ากว่า PtO ดังสมการ (4.1) ทำให้ Pt ไม่อุดตันในสภาพที่พร้อมจะทำหน้าที่ตัวเร่งปฏิกิริยา เพราะ Pt สามารถทำหน้าที่เร่งปฏิกิริยาให้เกิดขึ้นได้จะต้องอยู่ในรูปของ Pt เท่านั้น จากงานวิจัยของ Zhigang Qi และ Arthur Kaufman [7] กล่าว

ว่าการกระตุนเซลล์ช่วยทำให้ชั้นแพร่กระจายกําช Gas Diffusion Layer (GDL) และชั้นตัวเร่งปฏิกิริยา Catalyst Layer (CL) มีช่องเปิดมากขึ้น เนื่องจากกําชไส้โดยเรณและออกซิเจนเข้าไปนำพาสารที่ตกลงมาจากการพูนของคาร์บอน เมื่อช่องเปิดมากขึ้นจะส่งผลให้การถ่ายเทมวลสารทั้งสารเริ่มต้น (เชื้อเพลิง) หรือสารผลิตภัณฑ์ที่เกิดจากปฏิกิริยาคิชชิน (Low internal resistance) นอกจากนั้นน้ำที่เกิดขึ้นจากปฏิกิริยาทางขั้วแคลโอด รวมกับ ไอน้ำที่ได้จากการป้อนกําชทั้งสองฝ่ายเครื่องปรับความชื้นกําชทำให้เซลล์และเมมเบรนมีความชื้นเพิ่มขึ้นเป็นการเพิ่มความสามารถในการนำโปรตอน (High photon conductivity) ของเมมเบรนและแนวฟื้ออนในชั้นตัวเร่งปฏิกิริยาและสุดท้ายการกระตุนเซลล์ด้วยกําชไส้โดยเรณยังช่วยทำให้ Pt มีความบริสุทธิ์มากขึ้น เนื่องจากกําชไส้โดยเรณสัมผัสกับ Pt ในระหว่างการกระตุนเซลล์ กําชไส้โดยเรณจะทำให้เกิดปฏิกิริยาเร็วขึ้น โดยที่กําชไส้โดยเรณจะไปจับกับโมเลกุลของออกซิเจนโดยเป็นโมเลกุลของน้ำดังสมการ (4.2)

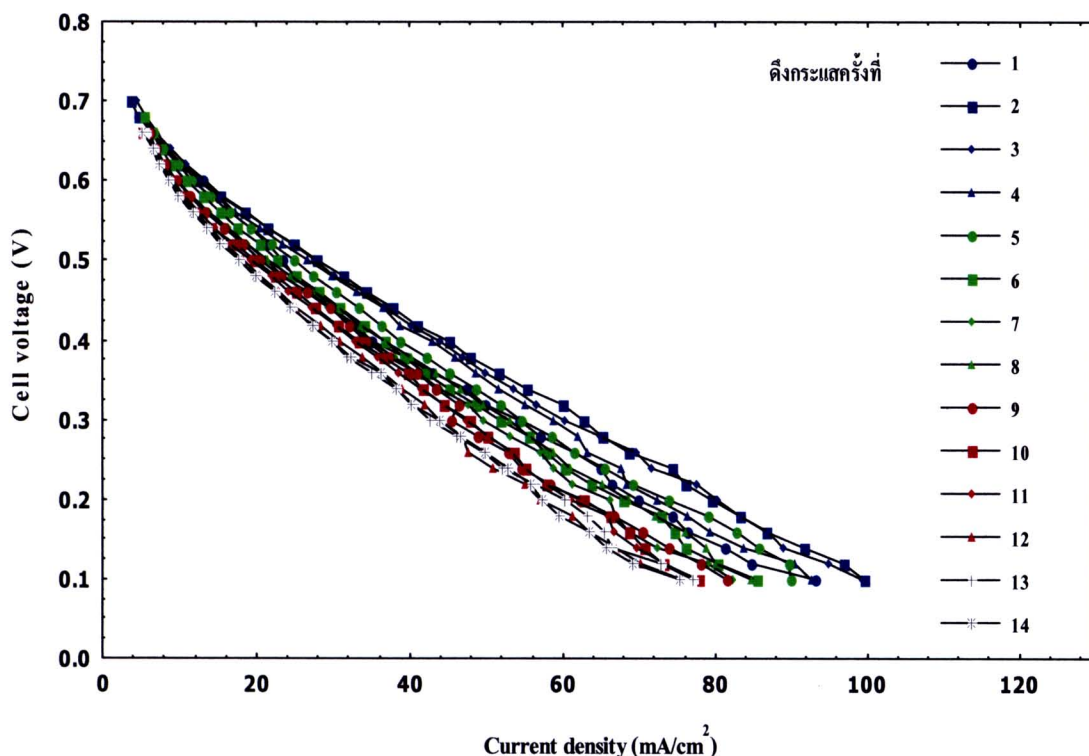


ดังนั้นสมรรถนะการทำงานของเซลล์เชื้อเพลิงที่ได้รับการกระตุนเซลล์ด้วยกําชไส้โดยเรณจึงดีกว่าเซลล์เชื้อเพลิงที่ได้รับการกระตุนเซลล์ด้วยสารละลายเอทานอล

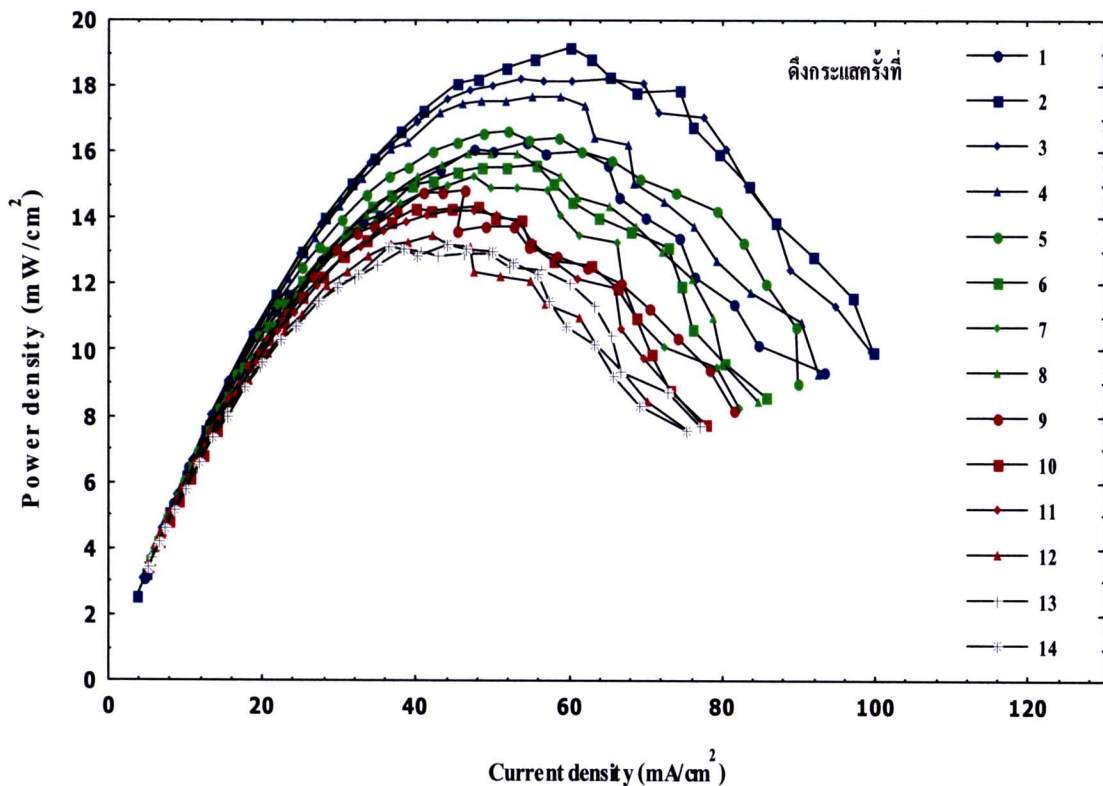
4.2 อิทธิพลของค่าความต่างศักย์ขณะการกระตุนเซลล์และความดันกําชไส้โดยเรณที่มีผลต่อสมรรถนะการทำงานของเซลล์เชื้อเพลิง

ในหัวข้อนี้จะได้แสดงผลการทดลองของเซลล์ 3 เซลล์ 4 และเซลล์ 5 เป็นลำดับแรกเพื่อศูนย์สมรรถนะการทำงานของแต่ละเซลล์ จากนั้นจะได้เปรียบเทียบอิทธิพลของค่าความต่างศักย์ขณะการกระตุนเซลล์ และความดันกําชไส้โดยเรณในหัวข้อย่อยที่ 4.2.1.1 และ 4.2.1.2 ตามลำดับ

ตามการทดลองในตารางที่ 3.2 เซลล์ 3 ทำการกระตุ้นเซลล์ด้วยกําชไโซโครเจน โดยป้อนกําชไโซโครเจนเข้าที่ขั้วแอโนด ที่ความดันสัมบูรณ์ 1 บรรยายกาศ และป้อนกําชออกซิเจนเข้าที่ขั้วแคโทด ที่ความดันสัมบูรณ์ 1 บรรยายกาศ ดึงกระแสที่ความต่างศักย์ 0.3 V ผลการทดลองแสดงในรูปที่ 4.5 และรูปที่ 4.6 ตามลำดับ จากกราฟโพลาไรเซชั่น รูปที่ 4.5 เซลล์ 3 สามารถผลิตกระแสไฟฟ้าได้สูงสุด 62.8 mA/cm^2 ที่ความต่างศักย์ที่ 0.3 V ใน การดึงกระแสครั้งที่ 2 ซึ่งมากกว่ากระแสไฟฟ้าที่ผลิตได้ในการดึงครั้งแรกอยู่ 8.4 mA/cm^2 และเซลล์ 3 ผลิตกระแสไฟฟ้าได้ต่ำสุด 42.8 mA/cm^2 ใน การดึงครั้งที่ 13 สำหรับในการดึงกระแสครั้งแรกนั้น เซลล์ 3 ให้ค่าความหนาแน่นกำลังไฟฟ้า 16.32 mW/cm^2 และให้ความหนาแน่นกำลังไฟฟ้าสูงสุด 19.2 mW/cm^2 ใน การดึงกระแสครั้งที่ 2 จากนั้นค่าความหนาแน่นกำลังไฟฟ้าจะลดลงเรื่อยๆ จนค่าความหนาแน่นของกำลังไฟฟ้าที่ได้จากการดึงกระแสเมื่อการเปลี่ยนแปลงน้อยมากและมีค่าต่ำสุดเท่ากับ 13.06 mW/cm^2 ใน การดึงครั้งที่ 13 ตามรูปที่ 4.6



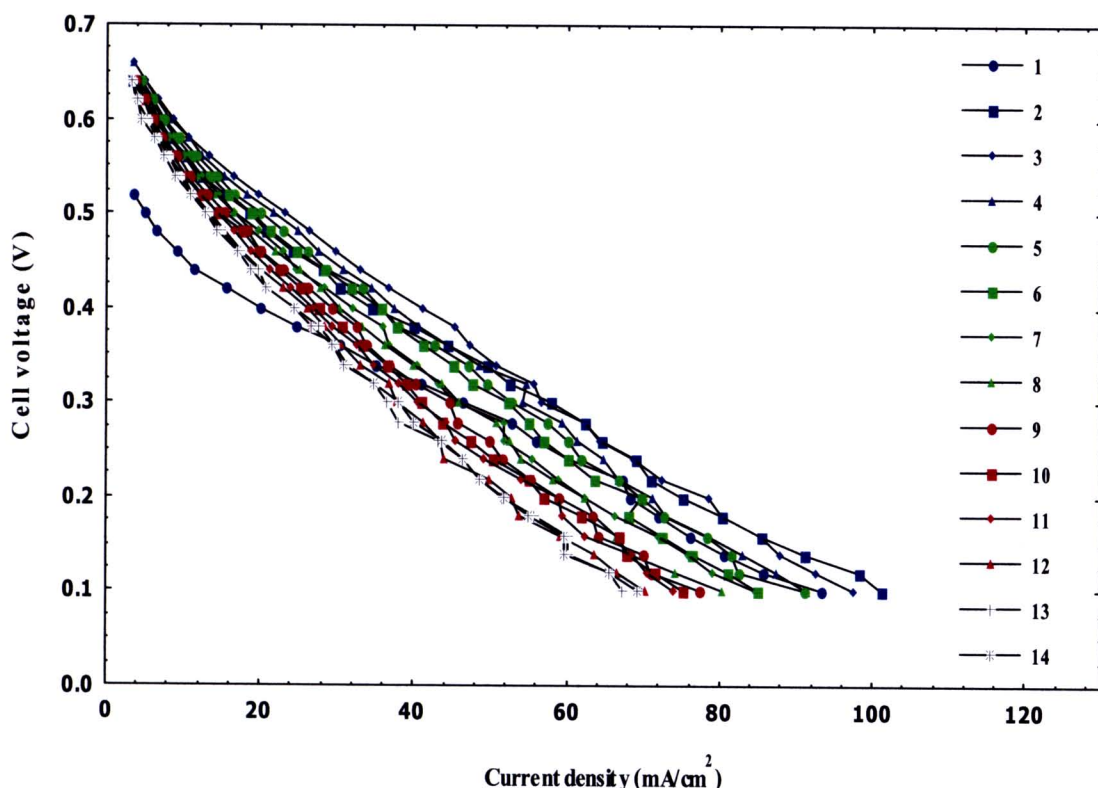
รูปที่ 4.5 กราฟโพลาไรเซชั่นของเซลล์เชือเพลิงตามการทดลอง “เซลล์ 3” แอโนด ($\text{Pt}_3\text{Sn}_1/\text{C}$) ป้อนกําชไโซโครเจน ความดัน 1 บรรยายกาศ, แคโทด (Pt/C) ป้อนกําชออกซิเจน ความดัน 1 บรรยายกาศ, ความต่างศักย์ 0.3 V



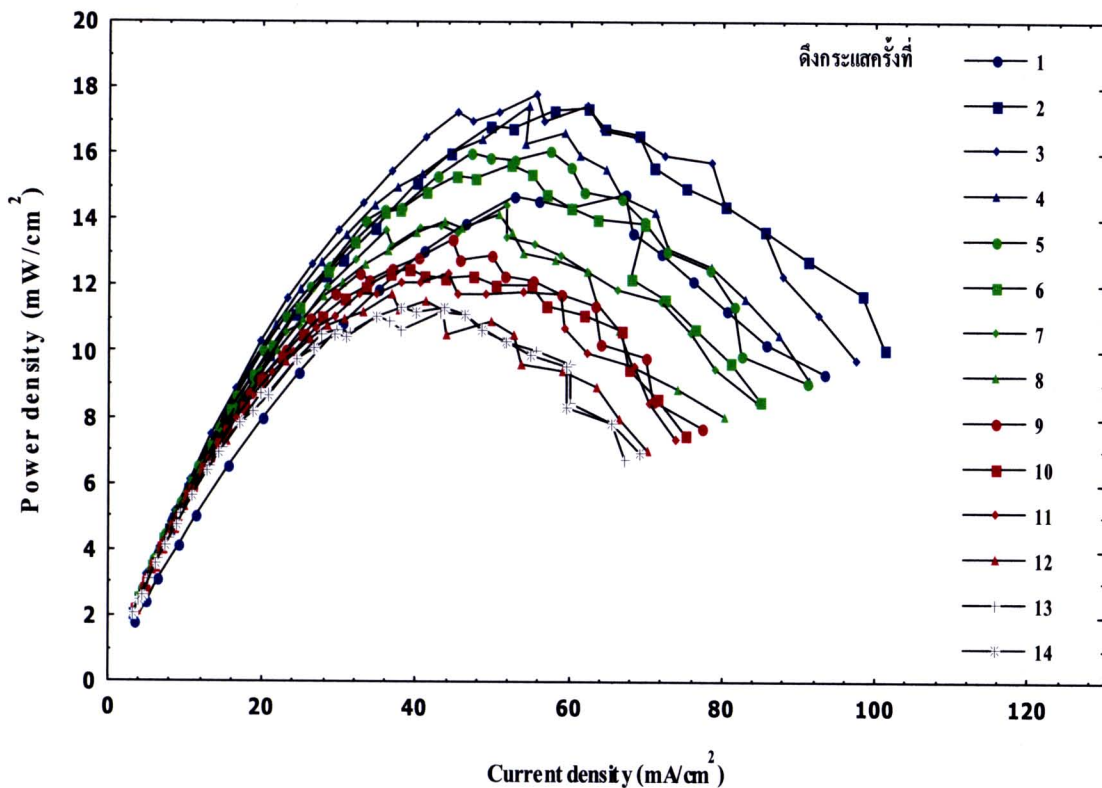
รูปที่ 4.6 กราฟกำลังไฟฟ้าของเซลล์เชือเพลิงตามการทดลอง “เซลล์ 3” แอโนด ($\text{Pt}_x\text{Sn}_{1-x}/\text{C}$) ป้อน ก๊าซไฮdroเจน ความดัน 1 บรรยากาศ, แคโทด (Pt/C) ป้อนก๊าซออกซิเจน ความดัน 1 บรรยากาศ, ความต่างศักย์ 0.3 V

ตามการทดลองในตารางที่ 3.2 เซลล์ 4 ทำการกระตุ้นเซลล์ด้วยก๊าซไฮdroเจน โดยป้อนก๊าซไฮdroเจนเข้าที่ขั้วแอโนด ที่ความดันสัมบูรณ์ 1 บรรยากาศ และป้อนก๊าซออกซิเจนเข้าที่ขั้วแคโทด ที่ความดันสัมบูรณ์ 1 บรรยากาศ ดึงกระแสที่ความต่างศักย์ 0.6 V ผลการทดลองแสดงในรูปที่ 4.7 และรูปที่ 4.8 ตามลำดับ

จากราฟโพลาไรเซชัน รูปที่ 4.7 เชลล์ 4 สามารถผลิตกระแสไฟฟ้าได้สูงสุด 57.8 mA/cm^2 ที่ความต่างศักย์ที่ 0.3 V ในการดึงกระแสครั้งที่ 2 ซึ่งมากกว่ากระแสไฟฟ้าที่ผลิตได้ในการดึงครั้งแรกอยู่ 9.4 mA/cm^2 และเชลล์ 4 ผลิตกระแสไฟฟ้าได้ต่ำสุด 36.4 mA/cm^2 ใน การดึงครั้งที่ 13 สำหรับในการดึงกระแสครั้งแรกนั้น เชลล์ 4 ให้ค่าความหนาแน่นกำลังไฟฟ้า 14.78 mW/cm^2 และให้ค่าความหนาแน่นกำลังไฟฟ้าสูงสุด 17.47 mW/cm^2 ในการดึงกระแสครั้งที่ 3 และ 4 จากนั้นค่าความหนาแน่นกำลังไฟฟ้าจะลดลงเรื่อยๆ จนค่าความหนาแน่นของกำลังไฟฟ้าที่ได้จากการดึงกระแสเมื่อการเปลี่ยนแปลงน้อยมากและมีค่าต่ำสุดเท่ากับ 11.23 mW/cm^2 ใน การดึงครั้งที่ 13 ตามรูปที่ 4.8

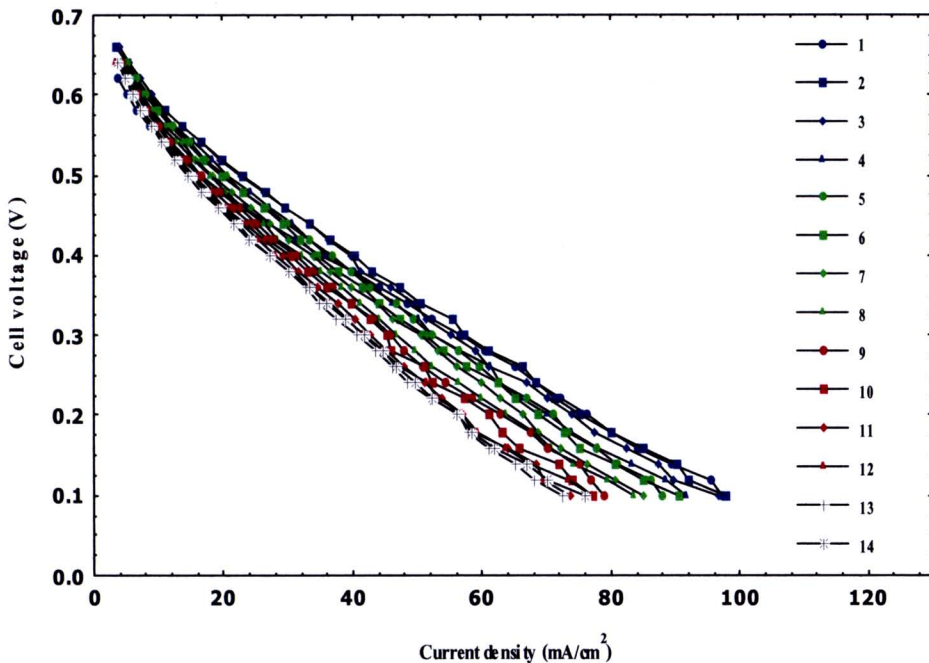


รูปที่ 4.7 กราฟโพลาไรเซชันของเชลล์เชื้อเพลิงตามการทดลอง “เชลล์ 4” แอโนด ($\text{Pt}_3\text{Sn}_1/\text{C}$) ป้อนก๊าซไฮdroเจน ความดัน 1 บรรยากาศ, แคโทด (Pt/C) ป้อนก๊าซออกซิเจน ความดัน 1 บรรยากาศ, ความต่างศักย์ 0.6 V

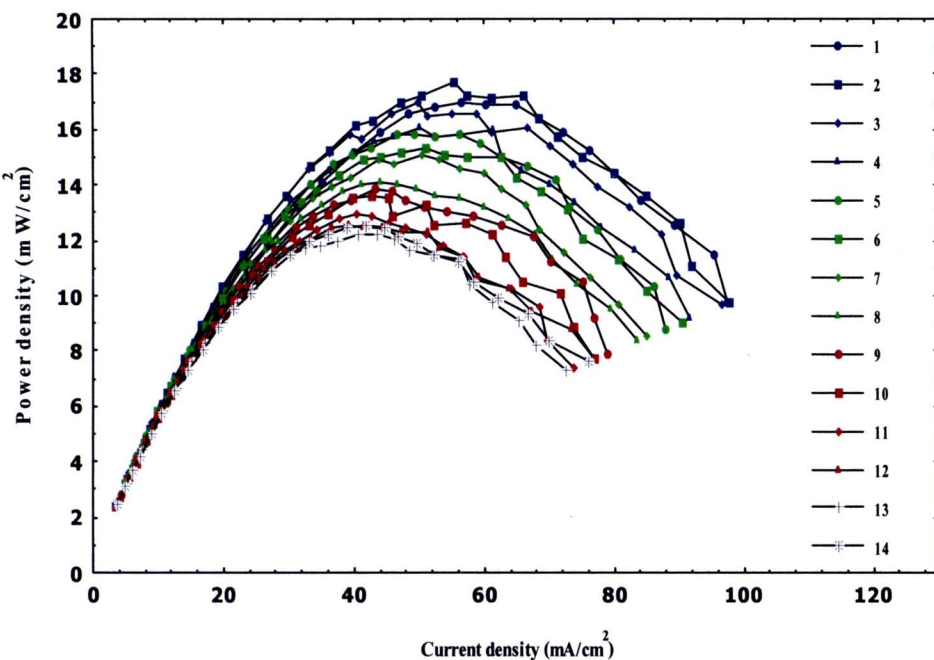


รูปที่ 4.8 กราฟกำลังไฟฟ้าของเซลล์เชือเพลิงตามการทดลอง “เซลล์ 4” แอโนด ($\text{Pt}_3\text{Sn}_7/\text{C}$) ป้อนก๊าซไฮโดรเจน ความดัน 1 บรรยากาศ, แคโทด (Pt/C) ป้อนก๊าซออกซิเจน ความดัน 1 บรรยากาศ, ความต่างศักย์ 0.6 V

ตามการทดลองในตารางที่ 3.2 เซลล์ 5 ทำการกระตุ้นเซลล์ด้วยก๊าซไฮโดรเจน โดยป้อนก๊าซไฮโดรเจนเข้าที่ข้อแอโนด ที่ความดันสัมบูรณ์ 2 บรรยากาศ และป้อนก๊าซออกซิเจนเข้าที่ข้อแคโทด ที่ความดันสัมบูรณ์ 2 บรรยากาศ ดึงกระแสที่ความต่างศักย์ 0.6 V ผลการทดลองแสดงในรูปที่ 4.9 และรูปที่ 4.10 ตามลำดับ จากกราฟโพลาไรเซชั่นรูปที่ 4.9 เซลล์ 5 สามารถผลิตกระแสไฟฟ้าได้สูงสุด 57.4 mA/cm^2 ที่ความต่างศักย์ที่ 0.3 V ในกรณีดึงกระแสครั้งที่ 2 ซึ่งมากกว่ากระแสไฟฟ้าที่ผลิตได้ในกรณีครั้งแรกอยู่ 0.8 mA/cm^2 และเซลล์ 5 ผลิตกระแสไฟฟ้าได้ค่าสูด 40.6 mA/cm^2 ในการดึงครั้งที่ 13 สำหรับในการดึงกระแสครั้งแรกนี้ เซลล์ 5 ให้ค่าความหนาแน่นกำลังไฟฟ้า 16.98 mW/cm^2 และให้ค่าความหนาแน่นกำลังไฟฟ้าสูงสุด 17.73 mW/cm^2 ในการดึงกระแสครั้งที่ 2 จากนั้นค่าความหนาแน่นกำลังไฟฟ้าจะลดลงเรื่อยๆ จนค่าความหนาแน่นของกำลังไฟฟ้าที่ได้จากการดึงกระแสมีการเปลี่ยนแปลงอย่างมากและมีค่าต่ำสุดที่ 12.21 mW/cm^2 ในการดึงครั้งที่ 13 ตามรูปที่ 4.10



รูปที่ 4.9 กราฟโพลาริเซชันของเซลล์เชือเพลิงตามการทดลอง “เซลล์ 5” แอโนด ($\text{Pt}_3\text{Sn}_1/\text{C}$) ปืนก้าชไสโตรเจน ความดัน 2 บรรยายกาศ, แคโทด (Pt/C) ปืนก้าชออกซิเจน ความดัน 2 บรรยายกาศ, ความต่างศักย์ 0.6 V



รูปที่ 4.10 กราฟกำลังไฟฟ้าของเซลล์เชือเพลิงตามการทดลอง “เซลล์ 5” แอโนด ($\text{Pt}_3\text{Sn}_1/\text{C}$) ปืนก้าชไสโตรเจน ความดัน 2 บรรยายกาศ, แคಠอດ (Pt/C) ปืนก้าชออกซิเจน ความดัน 2 บรรยายกาศ, ความต่างศักย์ 0.6 V

4.2.1 การเปรียบเทียบอิทธิพลของค่าความต่างศักย์อะคระตุนเซลล์และความดันของก๊าซไฮโดรเจนที่มีต่อสมรรถนะการทำงานของเซลล์

จากการทดสอบเซลล์เชือเพลิงเดียว (Single cell testing) ที่ผ่านมา พบว่าที่แต่ละค่าความต่างศักย์นั้น เซลล์เชือเพลิงให้ค่ากระแสไฟฟ้าไม่คงที่ กล่าวคือที่ความต่างศักย์สูง ($0.7 \text{ V} - 0.5 \text{ V}$) ค่ากระแสจะมีการเปลี่ยนแปลงที่น้อยหรือเกือบคงที่คือ $\pm 0.002 \text{ ถึง } \pm 0.005 \text{ A}$ ซึ่งแตกต่างกับ ค่ากระแสที่ความต่างศักย์ต่ำ ($0.4 \text{ V} - 0.1 \text{ V}$) ซึ่งที่ค่าความต่างศักย์นี้ ค่ากระแสเมื่อการเปลี่ยนแปลงเป็น ช่วงกว้างคือเปลี่ยนแปลงอยู่ระหว่าง $\pm 0.010 \text{ ถึง } \pm 0.079 \text{ A}$ ดังตารางที่ 4.1 ดังนั้นจึงได้ทำการทดสอบ สมรรถนะการทำงานของเซลล์เชือเพลิงเพิ่มอีกการทดสอบหนึ่ง ซึ่งการทดสอบนี้เป็นการศึกษา การเปลี่ยนแปลงของกระแสที่ค่าความต่างศักย์คงที่ โดยการทดสอบกระทำที่สภาวะเดี่ยว กับการทดสอบ เซลล์เชือเพลิงเดียวคือ ป้อนสารละลายเօชานอลความเข้มข้น 1 mol/dm^3 เข้าที่ขั้วแอดโนด ป้อนก๊าซ ออกซิเจน ความดันสัมบูรณ์ 2 บรรยากาศเข้าที่ขั้วแค็ปโอด ทำการดึงกระแสที่ความต่างศักย์คงที่ที่ 0.5 และ 0.3 V ทำการบันทึกการเปลี่ยนแปลงของค่ากระแสเทียบกับเวลา โดยใช้เวลาในการดึงกระแสที่ แต่ละความต่างศักย์เป็นเวลา 5 ชั่วโมง สำหรับการทดลองได้เสนอไว้ในหัวข้อย่อที่ 4.2.1.1 และ 4.2.1.2

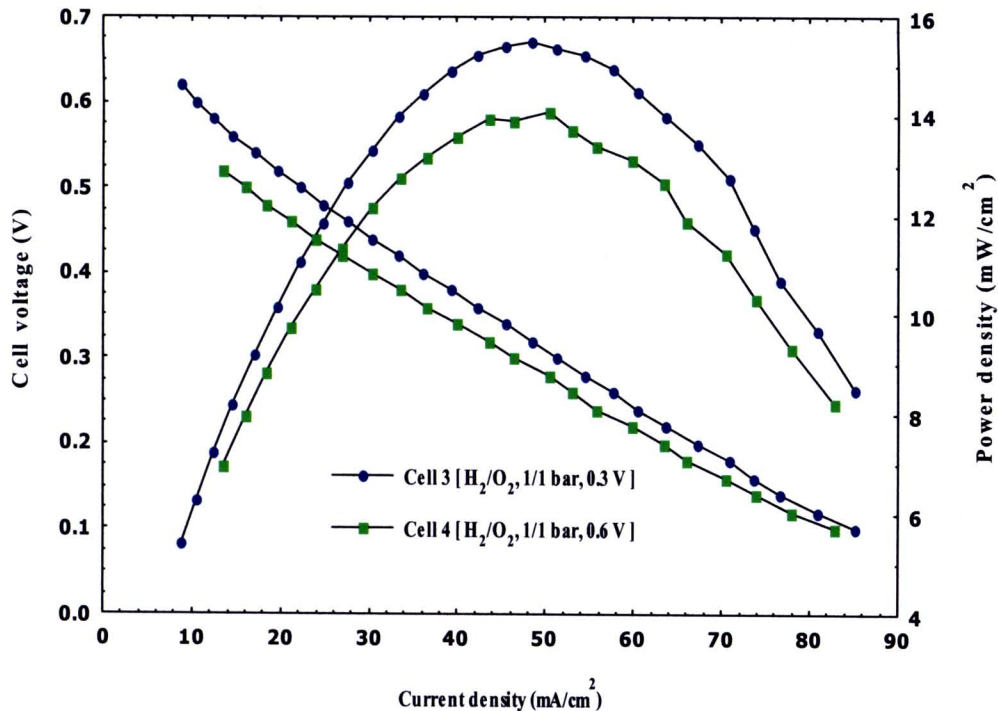
ตารางที่ 4.1 ช่วงการเปลี่ยนแปลงของค่ากระแสที่ความต่างศักย์ต่างๆ

ความต่างศักย์ (V)	ข้อมูลการทดลอง	
	กระแสไฟฟ้า (A)	ค่าความต่างของกระแสไฟฟ้า
0.700	-	-
0.680	0.020-0.022	0.002
0.660	0.029-0.031	0.002
0.640	0.040-0.042	0.002
0.620	0.052-0.055	0.003
0.600	0.067-0.069	0.002
0.580	0.083-0.086	0.003
0.560	0.097-0.101	0.004
0.540	0.112-0.115	0.003
0.520	0.129-0.134	0.005
0.500	0.145-0.150	0.005

0.480	0.163-0.171	0.008
0.460	0.173-0.180	0.007
0.440	0.189-0.197	0.008
0.420	0.200-0.208	0.008
0.400	0.219-0.229	0.010
0.380	0.236-0.248	0.012
0.360	0.255-0.267	0.012
0.340	0.271-0.283	0.012
0.320	0.277-0.298	0.021
0.300	0.301-0.317	0.016
0.280	0.319-0.336	0.027
0.260	0.334-0.360	0.026
0.240	0.348-0.375	0.027
0.220	0.369-0.392	0.023
0.200	0.380-0.415	0.035
0.180	0.398-0.428	0.030
0.160	0.414-0.450	0.036
0.140	0.420-0.459	0.039
0.120	0.428-0.472	0.044
0.100	0.418-0.499	0.081

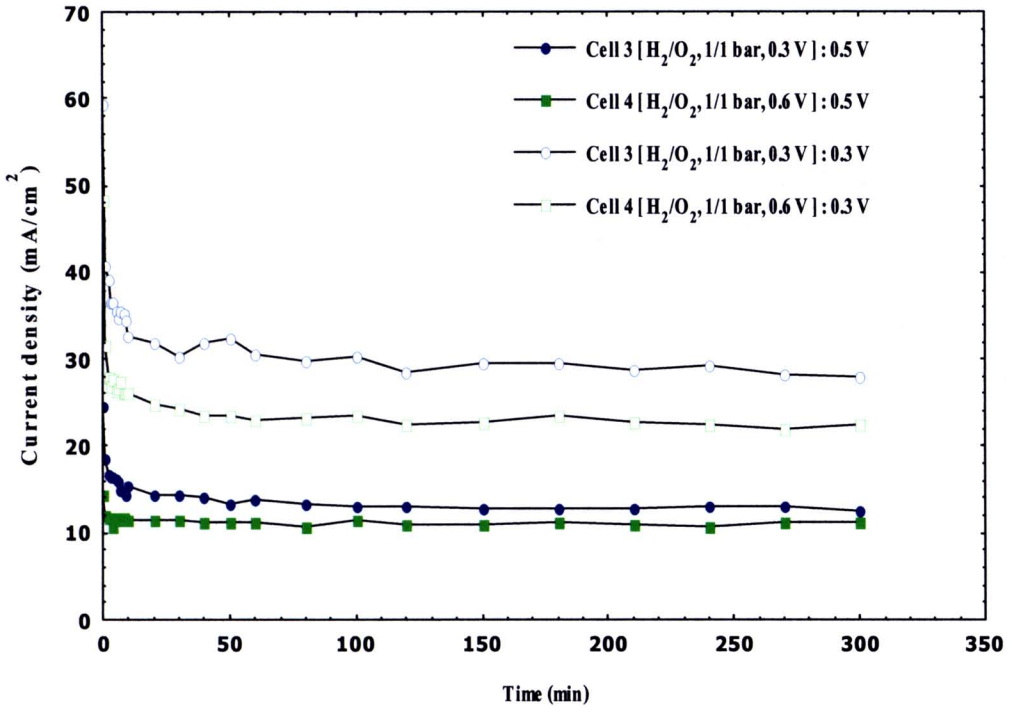
4.2.1.1 ความต่างศักย์ขยะกระแสตู้นเซลล์

เซลล์เชือเพลิง “เซลล์ 3” มีสภาพการกระแสตู้นเซลล์ดังนี้ ป้อนก๊าซไฮโดรเจนและก๊าซออกซิเจนเข้าที่ด้านแอโนนด์และแค็ปติดตามลำดับ ความดันของก๊าซไฮโดรเจนและก๊าซออกซิเจนมีค่าเท่ากันคือเท่ากับ 1 บรรยายกาศ และทำการกระแสตู้นเซลล์ที่ความต่างศักย์ 0.3 V สำหรับเซลล์เชือเพลิง “เซลล์ 4” มีสภาพการกระแสตู้นเซลล์ดังนี้ ป้อนก๊าซไฮโดรเจนและก๊าซออกซิเจนเข้าที่ด้านแอโนนด์และแค็ปติดตามลำดับ ความดันของก๊าซไฮโดรเจนและก๊าซออกซิเจนมีค่าเท่ากันคือเท่ากับ 1 บรรยายกาศ และทำการกระแสตู้นเซลล์ที่ความต่างศักย์ 0.6 V

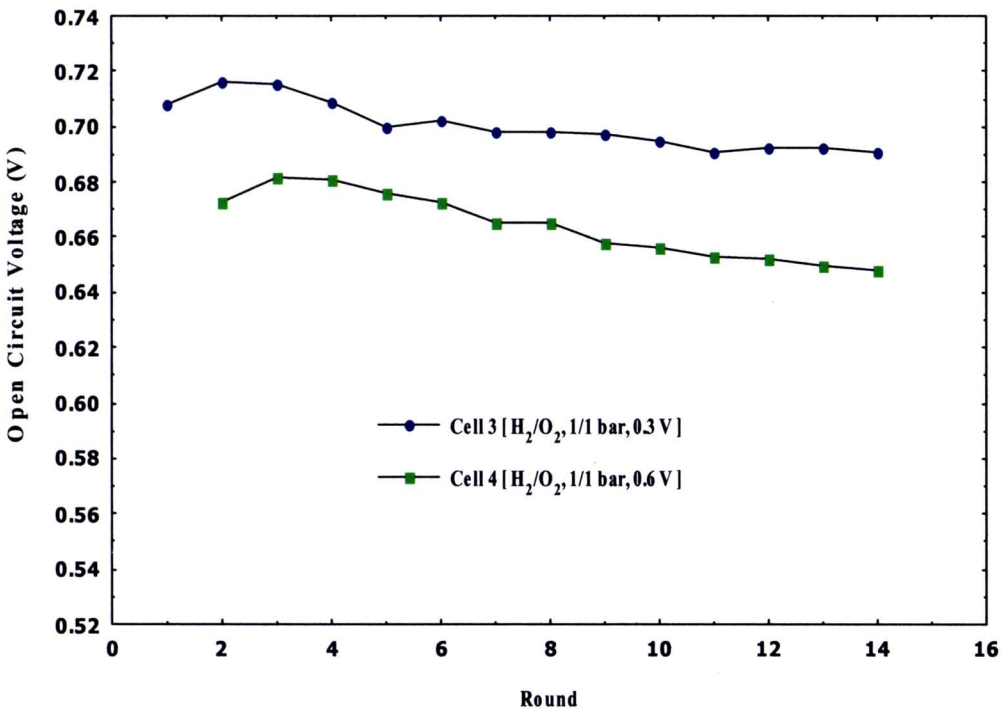


รูปที่ 4.11 กราฟโพลาไรเซชันและการกำลังไฟฟ้าของเซลล์เชื้อเพลิง “เซลล์ 3” และ “เซลล์ 4” (ค่าเฉลี่ย)

ผลการทดลองในรูปที่ 4.11 เซลล์เชื้อเพลิงที่ได้รับการกระตุ้นที่สภาวะ 0.3 V (เซลล์ 3) ให้ความหนาแน่นกำลังไฟฟ้าที่ 15 mW/cm² ซึ่งมากกว่าเซลล์เชื้อเพลิงที่ได้รับการกระตุ้นที่สภาวะ 0.6 V (เซลล์ 4) อยู่ประมาณ 1 mW/cm² จากรูปที่ 4.12 การเปลี่ยนแปลงของความหนาแน่นกระแสเทียบกับเวลา ที่ความต่างศักย์คงที่ที่ 0.3 และ 0.5 V จะเห็นว่าค่ากระแสในช่วงเริ่มต้นจะมีค่าสูงและจะลดลงเรื่อยๆ และเมื่อเวลาผ่านไปค่ากระแสจะมีการเปลี่ยนแปลงน้อยลงจนเกือบคงที่ ซึ่ง ณ จุดนี้เซลล์เชื้อเพลิงจะผลิตกระแสให้อย่างคงที่และสม่ำเสมอ จากผลการทดลองที่ได้ตามรูปที่ 4.12 จะเห็นว่าทั้งที่ความต่างศักย์ 0.3 และ 0.5 V เซลล์ 3 สามารถผลิตกระแสได้มากกว่า เซลล์ 4 ขณะที่เมื่อคุณการเปลี่ยนแปลงของ OCV ของเซลล์เชื้อเพลิงทั้งสองนั้นซึ่งจะแสดงให้เห็นถึงปริมาณของสารละลายเօทานอลที่แพร่ผ่านเมมเบรนไป จากรูปที่ 4.13 พบว่า ทั้งเซลล์ 3 และเซลล์ 4 จะมีค่า OCV ลดลงเรื่อยๆ จนเริ่มคงที่ที่ซึ่งแสดงว่ามีการแพร่ผ่านเมมเบรนของสารละลายเօทานอลในช่วงแรกและหลังจากนั้นปริมาณการแพร่ผ่านเมมเบรนของสารละลายเօทานอลนั้นไม่เพิ่มขึ้นจากเดิมอีก



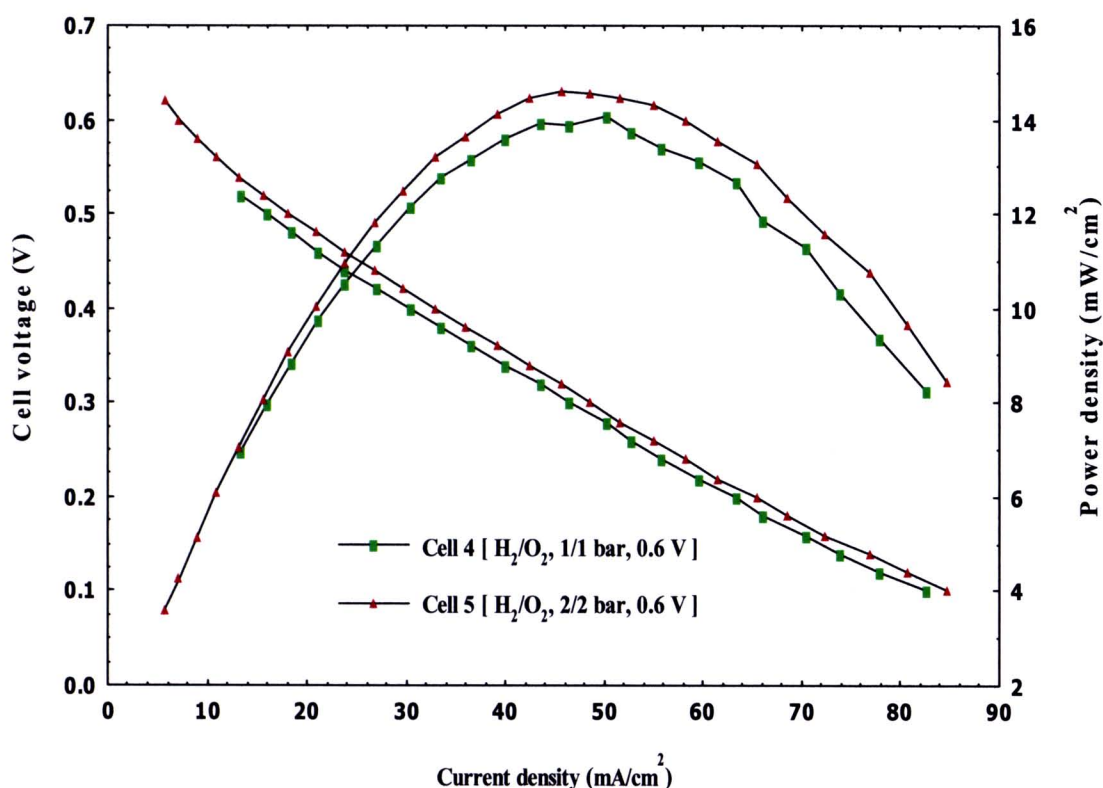
รูปที่ 4.12 กราฟการเปลี่ยนแปลงของความหนาแน่นกระแสเทียบกับเวลา ที่ความต่างศักย์คงที่ที่ 0.3 และ 0.5 V ของเซลล์เชือเพลิง “เซลล์ 3” และ “เซลล์ 4”



รูปที่ 4.13 กราฟเปรียบเทียบการเปลี่ยนแปลงของ OCV ของเซลล์เชือเพลิง “เซลล์ 3” และ “เซลล์ 4”

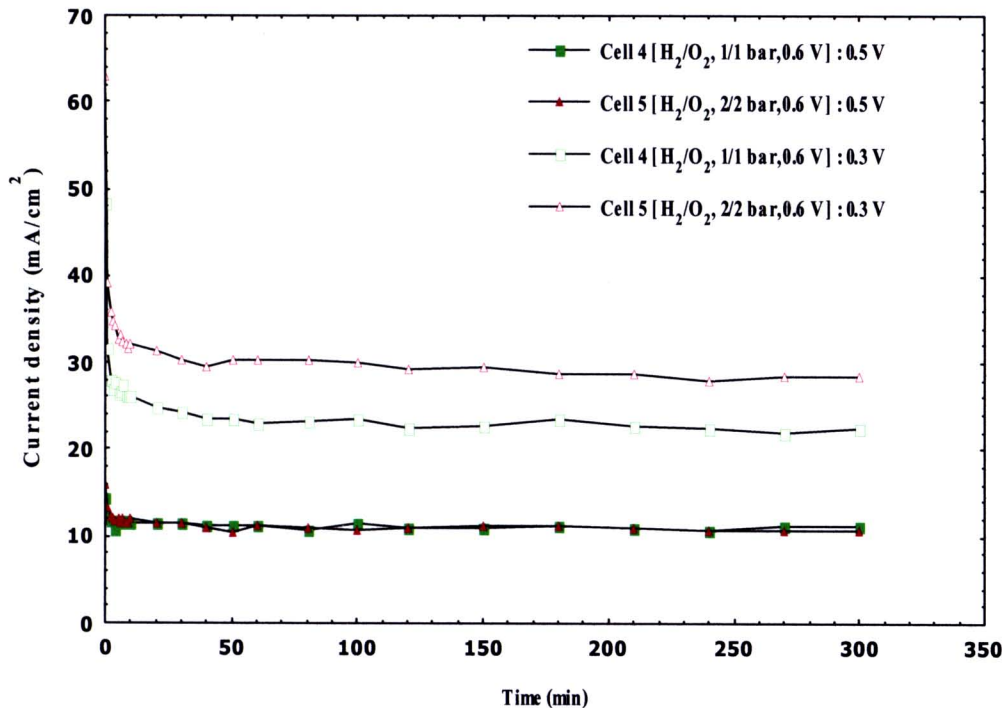
4.2.1.2 ความดันกําชาizi โครเจน

เซลล์เชือเพลิง “เซลล์ 4” มีสภาวะการกระตุ้นเซลล์ดังนี้ ป้อนกําชาizi โครเจนและกําซออกซิเจนเข้าที่ด้านแอโนดและแค็โพดตามลำดับ ความดันของกําชาizi โครเจนและกําซออกซิเจนมีค่าเท่ากันคือเท่ากับ 1 บารยากราช และทำการกระตุ้นเซลล์ที่ความต่างศักย์ 0.6 V สำหรับเซลล์เชือเพลิง “เซลล์ 5” มีสภาวะการกระตุ้นเซลล์ดังนี้ ป้อนกําชาizi โครเจนและกําซออกซิเจนเข้าที่ด้านแอโนดและแค็โพดตามลำดับ ความดันของกําชาizi โครเจนและกําซออกซิเจนมีเท่ากันคือเท่ากับ 2 บารยากราชตามลำดับ และทำการกระตุ้นเซลล์ที่ความต่างศักย์ 0.6 V

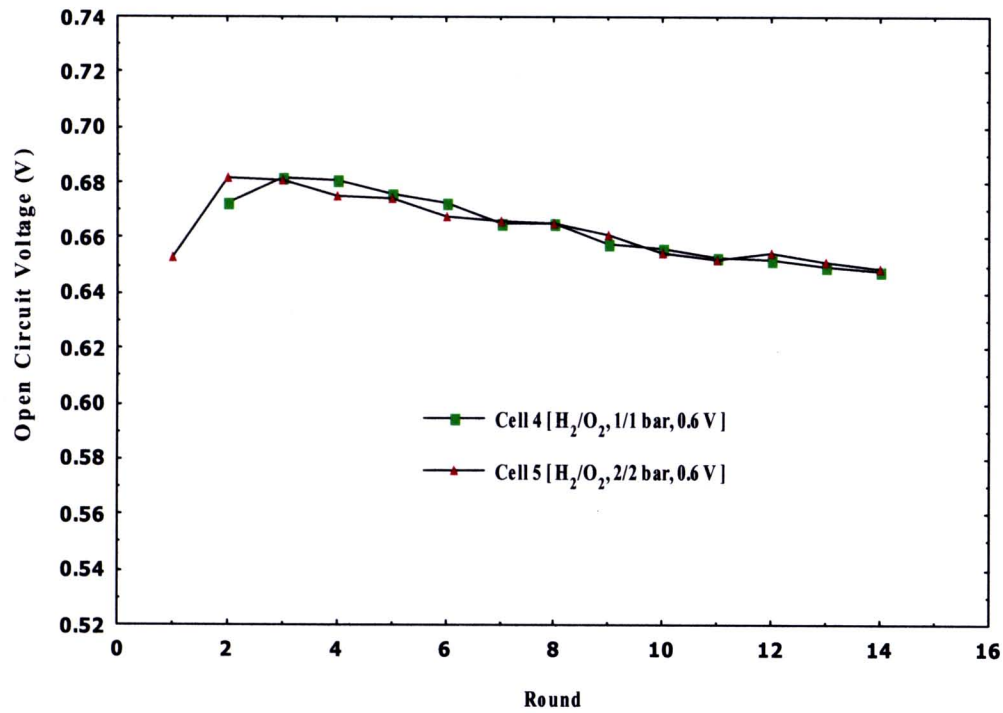


รูปที่ 4.14 กราฟโพลาไรเซชันและการกำลังไฟฟ้าของเซลล์เชือเพลิง “เซลล์ 4” และ “เซลล์ 5” (ค่าเฉลี่ย)

ผลการทดลองในรูปที่ 4.14 เซลล์เชือเพลิงที่ได้รับการกระตุ้นที่สภาวะความดันของกําชาizi โครเจนและความดันของกําซออกซิเจนที่ 1 บารยากราช และการกระตุ้นที่สภาวะความดันของกําชาทั้งสองที่ 2 บารยากราช ให้ความหนาแน่นกำลังไฟฟ้าใกล้เคียงกันทั้งสองสภาวะ คือเซลล์ 4 ให้ความหนาแน่นกำลังไฟฟ้าเท่ากับ 14.0 mW/cm^2 และเซลล์ 5 ให้ความหนาแน่นกำลังไฟฟ้าเท่ากับ 14.5 mW/cm^2



รูปที่ 4.15 กราฟการเปลี่ยนแปลงของความหนาแน่นกระแสเทียบกับเวลา ที่ความต่างศักย์คงที่ที่ 0.3 และ 0.5 V ของเซลล์เชือเพลิง “เซลล์ 4” และ “เซลล์ 5”



รูปที่ 4.16 กราฟเปรียบเทียบการเปลี่ยนแปลงของ OCV ของเซลล์เชือเพลิง “เซลล์ 4” และ “เซลล์ 5”

จากรูปที่ 4.15 การเปลี่ยนแปลงของความหนาแน่นกระแสไฟฟ้ากับเวลา ที่ความต่างศักย์คงที่ที่ 0.3 และ 0.5 V จะเห็นว่าค่ากระแสในช่วงเริ่มต้นจะมีค่าสูงและลดลงเรื่อยๆ และเมื่อเวลาผ่านไป ค่ากระแสจะมีการเปลี่ยนแปลงน้อยลงจนคงที่ และจากผลการทดลองที่ได้ตามรูปที่ 4.15 จะเห็นว่าที่ความต่างศักย์ 0.3 V เชลล์ 5 สามารถผลิตกระแสไฟฟ้าได้มากกว่าเชลล์ 4 ประมาณ 6 mA/cm^2 (เชลล์ 4 เท่ากับ 24 mA/cm^2 และเชลล์ 5 เท่ากับ 30 mA/cm^2) แต่ที่ความต่างศักย์ 0.5 V เชลล์ 5 และเชลล์ 4 ให้ค่าความหนาแน่นกระแสเท่ากันที่ประมาณ 10 mA/cm^2 จากรูปที่ 4.16 ซึ่งแสดงการเปลี่ยนแปลงของ OCV ของเชลล์เชือเพลิงพบว่า เชลล์ 4 และเชลล์ 5 จะมีค่า OCV ลดลงเรื่อยๆ แต่ปริมาณของสารละลายเօชานอลที่เพรparผ่าน membran จะเริ่มน้อยลงประมาณที่การดึงกระแสครั้งที่ 10

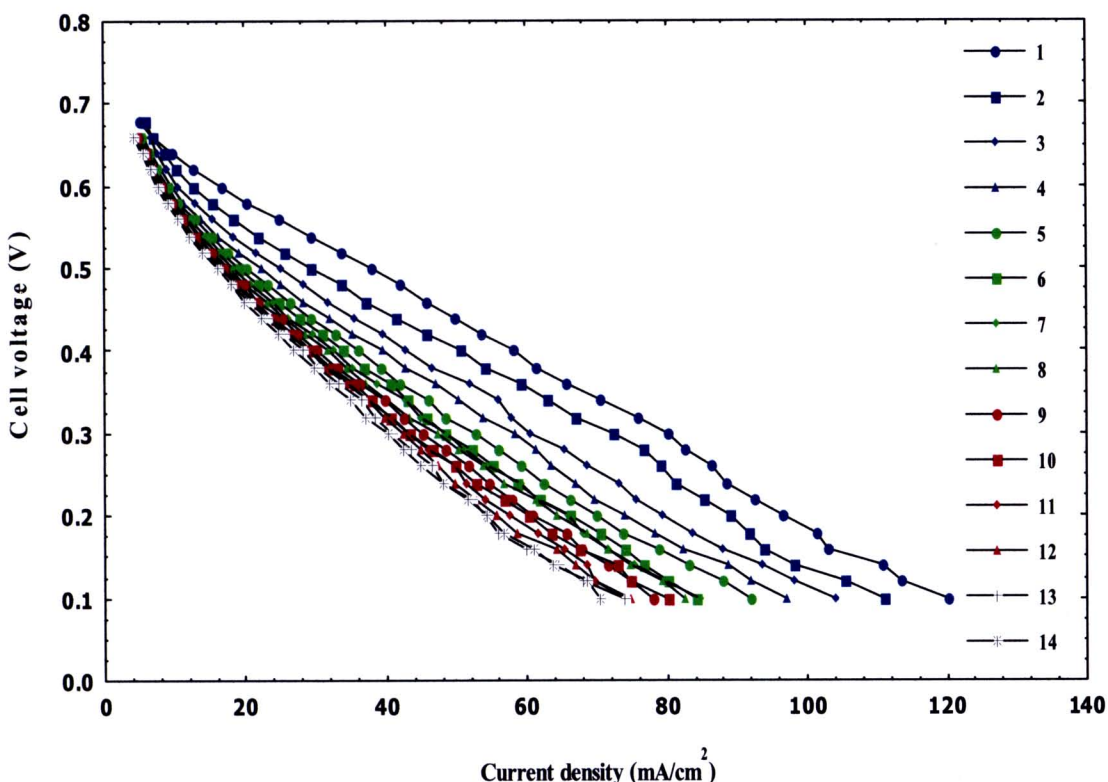
จากการเปรียบเทียบอิทธิพลของค่าความต่างศักย์บนกระแสตู้นเชลล์และความดันก๊าซไฮโดรเจนนี้ พบว่าเชลล์เชือเพลิงจะมีสมรรถนะการทำงานที่ดีกว่าเมื่อเชลล์ได้รับการกระตุ้นที่ค่าความต่างศักย์ต่ำ และความดันก๊าซไฮโดรเจนสูง จากการวิจัยของ Qi และคณะ [21] พบว่าการดึงกระแสที่ความต่างศักย์ต่ำนั้นช่วยทำให้เชลล์เชือเพลิงเข้าสู่ประสิทธิภาพสูงสุดได้เร็วกว่า และช่วยขยายช่องว่างในชั้นตัวเร่งปฏิกิริยาไม่ผลทำให้การถ่ายเทน้ำสารทั้งสารเริ่มต้นและสารผลิตภัณฑ์เป็นไปอย่างมีประสิทธิภาพ ขณะที่การเพิ่มความดันของก๊าซนี้ ปฏิกิริยาจะเกิดได้มากขึ้น ซึ่งจะมีส่วนช่วยเพิ่มสมรรถนะการทำงานของเชลล์เชือเพลิงในลักษณะเข่นเดียวกับการกระตุ้นที่ความต่างศักย์ต่ำ และสำหรับเชลล์ 5 ซึ่งทำการทดสอบที่สภาพะ ความดันของก๊าซไฮโดรเจนและก๊าซออกซิเจนที่ 2/2 บรรยายกาศนี้ ดึงกระแสที่ความต่างศักย์สูงที่ 0.6 V จากการวิจัยของ Liu และคณะกล่าวไว้ว่าการกระตุ้นเชลล์ที่ความต่างศักย์สูงหรือที่กระแสต่ำ (Low current) นี้เป็นกระตุ้นที่ความต่างศักย์สูงเป็นการกระตุ้นอย่างชาญ ค่อยเป็นค่อยไปทำให้สภาพของ MEA มีสภาพไม่เปลี่ยนแปลงไปมาก การกระตุ้นเชลล์ที่ความต่างศักย์สูงนี้จะช่วยปิดพื้นที่ปิดในชั้นตัวเร่งปฏิกิริยา

4.3 การสลับกันของก๊าซออกซิเจนและก๊าซไฮโดรเจนเพื่อกระตุ้นข้าวแอโนดและข้าวแคโทดตามลำดับ

ในหัวข้อนี้จะได้แสดงผลการทดลองของเชลล์ 6 เป็นลำดับแรกเพื่อศูนย์สมรรถนะการทำงานของเชลล์ 6 จากนั้นจะได้เปรียบเทียบอิทธิพลของการสลับເອาก๊าซออกซิเจนป้อนเข้าที่ข้าวแอโนดและใช้ก๊าซไฮโดรเจนป้อนเข้าที่ข้าวแคโทดในหัวข้ออย่างที่ 4.3.1

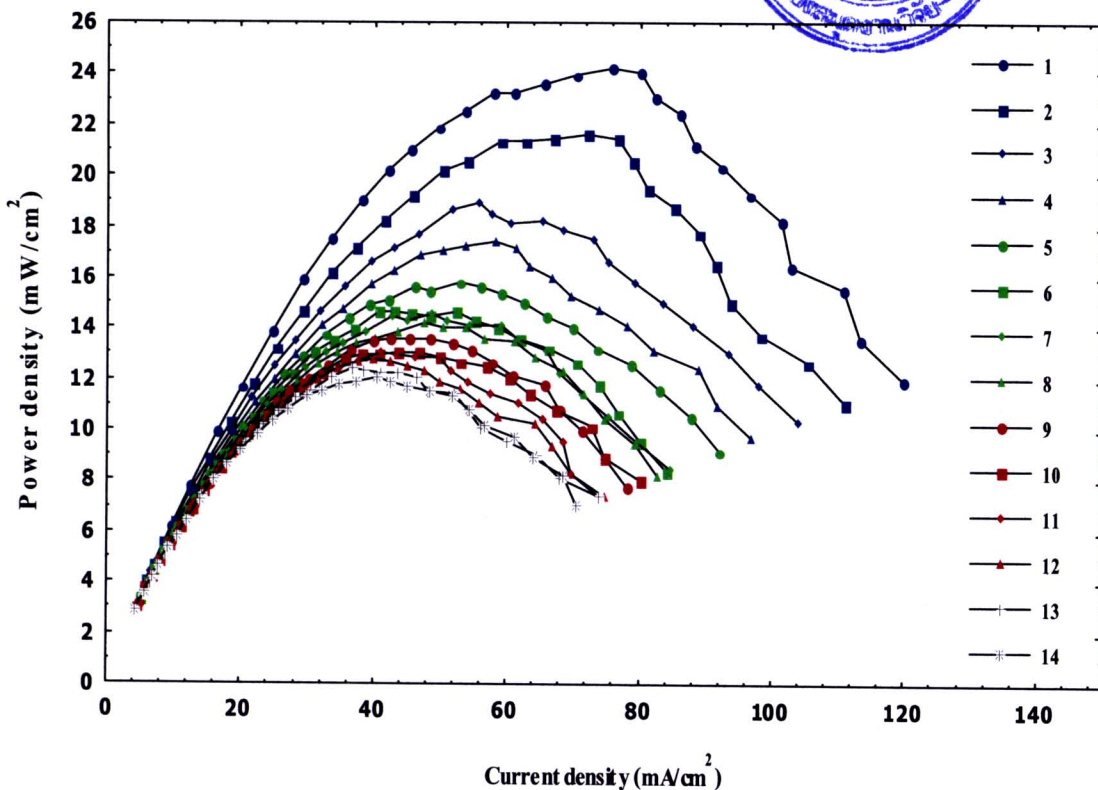
ตามการทดลองในตารางที่ 3.2 เชลล์ 6 จะทำการกระตุ้นเชลล์ด้วยก๊าซไฮโดรเจน โดยป้อนก๊าซไฮโดรเจนเข้าที่ข้าวแคโทดซึ่งเป็นด้านของตัวเร่งปฏิกิริยา Pt/C ที่ความดันสัมบูรณ์ 1 บรรยายกาศ และ

ป้อนกําชออกซิเจนเข้าที่ขึ้วแอโนดซึ่งเป็นคํานของตัวเร่งปฏิกิริยา Pt₃Sn₁/C ที่ความดันสัมบูรณ์ 1 บรรยายกาศ ดึงกระแสที่ความต่างศักย์ 0.3 V และกำหนดให้คํานที่ป้อนกําชไฮโดรเจนเป็นขึ้วแอโนด และคํานที่ป้อนกําชออกซิเจนเป็นคํานแคโทด ดังนั้นในการทดลองของเซลล์ 4 นี้ คํานที่มีตัวเร่งปฏิกิริยาเป็น Pt/C จะเป็นคํานแอโนดแทนซึ่งต้องป้อนคํวยกําชไฮโดรเจน และคํานที่มีตัวเร่งปฏิกิริยาเป็น Pt₃Sn₁/C จะเป็นคํานแคโทดแทนซึ่งต้องป้อนคํวยกําชออกซิเจน สำหรับผลการทดลองแสดงอยู่ในรูปที่ 4.17 และรูปที่ 4.18



รูปที่ 4.17 กราฟโพลาไรเซชันของเซลล์เขื้อเพลิงตามการทดลอง “เซลล์ 6” และอนด (Pt₃Sn₁/C) ป้อนกําชออกซิเจน ความดัน 1 บรรยายกาศ, แคโทด (Pt/C) ป้อนกําชไฮโดรเจน ความดัน 1 บรรยายกาศ, ความต่างศักย์ 0.3 V

จากราฟโพลาไรเซชัน รูปที่ 4.17 เซลล์ 6 สามารถผลิตกระแสไฟฟ้าได้สูงสุด 80.2 mA/cm² ที่ความต่างศักย์ที่ 0.3 V ในกรณีกระแสครั้งที่ 1 และผลิตกระแสไฟฟ้าได้ต่ำสุด 40.2 mA/cm² ในกรณีกระแสครั้งที่ 14 ในกรณีกระแสครั้งแรก เซลล์ 6 ให้ความหนาแน่นกำลังไฟฟ้า 24.26 mW/cm² ซึ่งเป็นความหนาแน่นกำลังไฟฟ้าสูงสุดด้วย จากนั้นความหนาแน่นกำลังไฟฟ้าจะลดลงเรื่อยๆ และมีค่าต่ำสุดที่ 12.06 mW/cm² ในกรณีกระแสครั้งที่ 14 ความหนาแน่นของกำลังไฟฟ้าจะเริ่มมีการเปลี่ยนแปลงน้อยลงในการดึงครั้งหลังๆ แต่ยังมีแนวโน้มที่จะลดลงอีกตามรูปที่ 4.18



รูปที่ 4.18 กราฟกำลังไฟฟ้าของเซลล์เชือเพลิงตามการทดลอง “เซลล์ 6” แอนอด ($\text{Pt}_3\text{Sn}_1/\text{C}$) ป้อนกําชไสโครเจน ความดัน 1 บรรยากาศ, แคโทด (Pt/C) ป้อนกําชไสโครเจน ความดัน 1 บรรยากาศ, ความต่างศักย์ 0.3 V

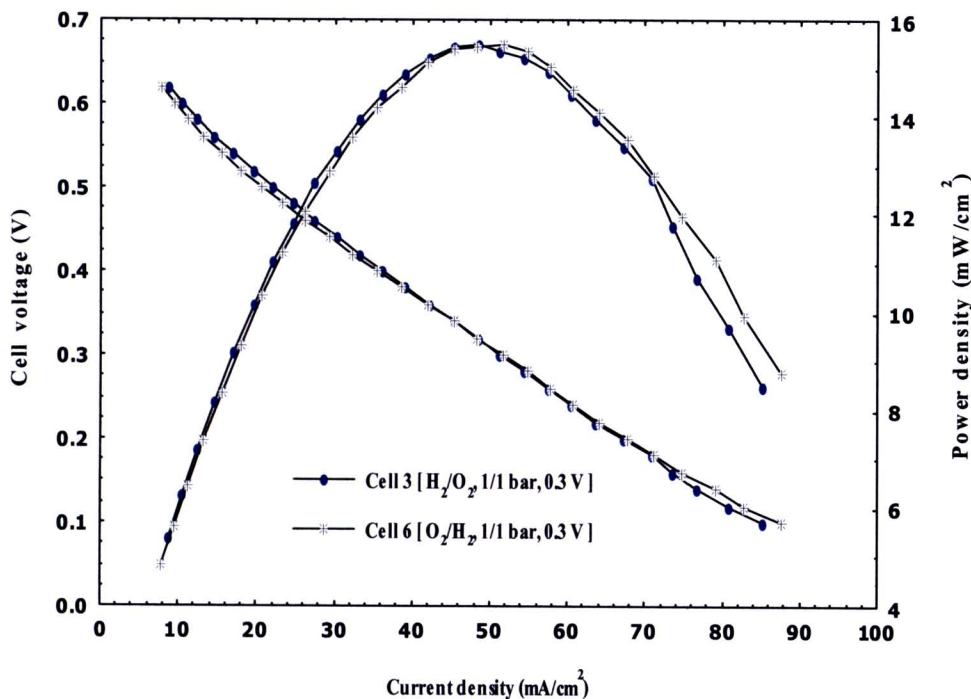
4.3.1 กําชที่ใช้ในการกระตุ้นเซลล์

ในหัวข้อนี้จะได้เปรียบเทียบอิทธิพลของการสลับกันระหว่างกําชออกซิเจนกับกําชไสโครเจนเพื่อกระตุ้นขึ้วแอนอดและขึ้วแคโทด ตามลำดับ ในการศึกษาอิทธิพลการกระตุ้นเซลล์ด้วยวิธีนี้จะเปรียบเทียบผลการทดลองของเซลล์ 3 และเซลล์ 6

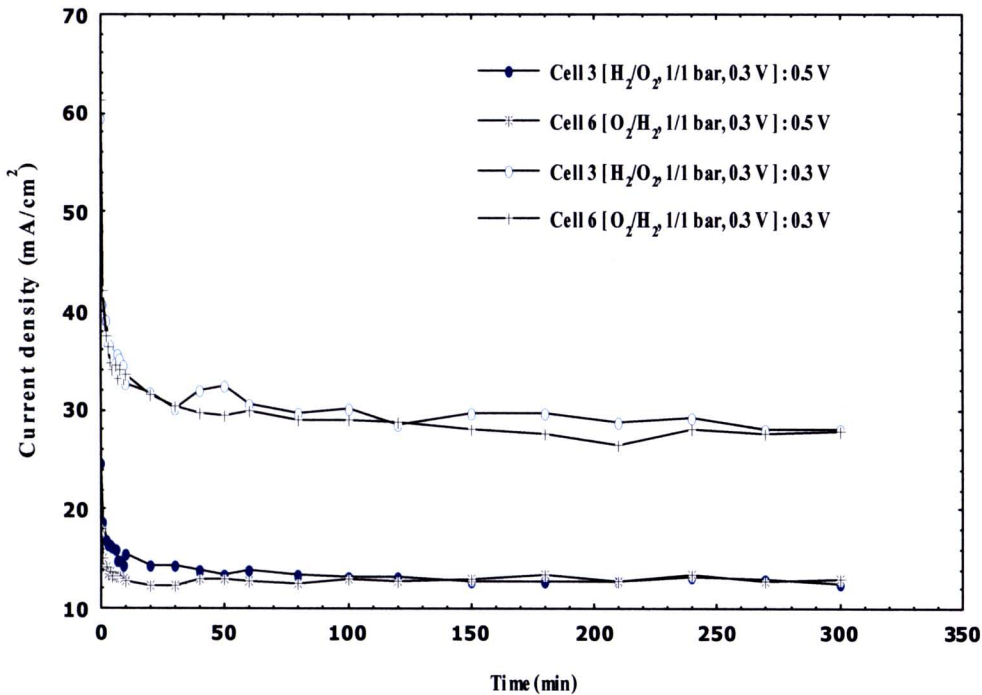
สำหรับเซลล์ 3 นั้นกระตุ้นเซลล์โดยใช้กําชไสโครเจนป้อนเข้าขึ้วแอนอดที่มีตัวเร่งปฏิกิริยาเป็น $\text{Pt}_3\text{Sn}_1/\text{C}$ และใช้กําชออกซิเจนป้อนเข้าขึ้วแคโทดที่มีตัวเร่งปฏิกิริยาเป็น Pt/C ขณะที่เซลล์ 6 นั้นกระตุ้นเซลล์โดยใช้กําชไสโครเจนป้อนเข้าขึ้วแคโทดที่มีตัวเร่งปฏิกิริยาเป็น Pt/C และใช้กําชออกซิเจนป้อนเข้าขึ้วแอนอดที่มีตัวเร่งปฏิกิริยาเป็น $\text{Pt}_3\text{Sn}_1/\text{C}$ แต่ไม่ว่าจะใช้กําชใดป้อนเข้าขึ้วที่มีตัวเร่งปฏิกิริยาเป็น $\text{Pt}_3\text{Sn}_1/\text{C}$ หรือป้อนกําชเข้าขึ้วที่มีตัวเร่งปฏิกิริยาเป็น Pt/C ขึ้วที่จะกำหนดให้เป็น

ข้อแօ โน่นนี่จะต้องเป็นข้อที่ถูกป้อนก้าชไฮโครเจน และข้อที่จะกำหนดให้เป็นข้อแคโทคันนิก จะต้องเป็นข้อที่ถูกป้อนก้าชออกซิเจน

ผลการทดลองในรูปที่ 4.19 เชลล์ 6 ซึ่งเป็นเชลล์เชือเพลิงที่ได้รับการกระตุ้นที่สภาวะเมื่อป้อนก้าชออกซิเจนเข้าข้อที่มีตัวเร่งปฏิกิริยาเป็น $\text{Pt}_3\text{Sn}_1/\text{C}$ นั้นจะให้ความหนาแน่นกำลังไฟฟ้าเท่ากับเชลล์ 3 ซึ่งเป็นเชลล์เชือเพลิงที่ได้รับการกระตุ้นที่สภาวะเมื่อป้อนก้าชไฮโครเจนเข้าข้อที่มีตัวเร่งปฏิกิริยาเป็น $\text{Pt}_3\text{Sn}_1/\text{C}$ ซึ่งที่การกระตุ้นในสภาวะทั้งสองนี้ให้ความหนาแน่นกำลังไฟฟ้าประมาณ 15 mW/cm^2



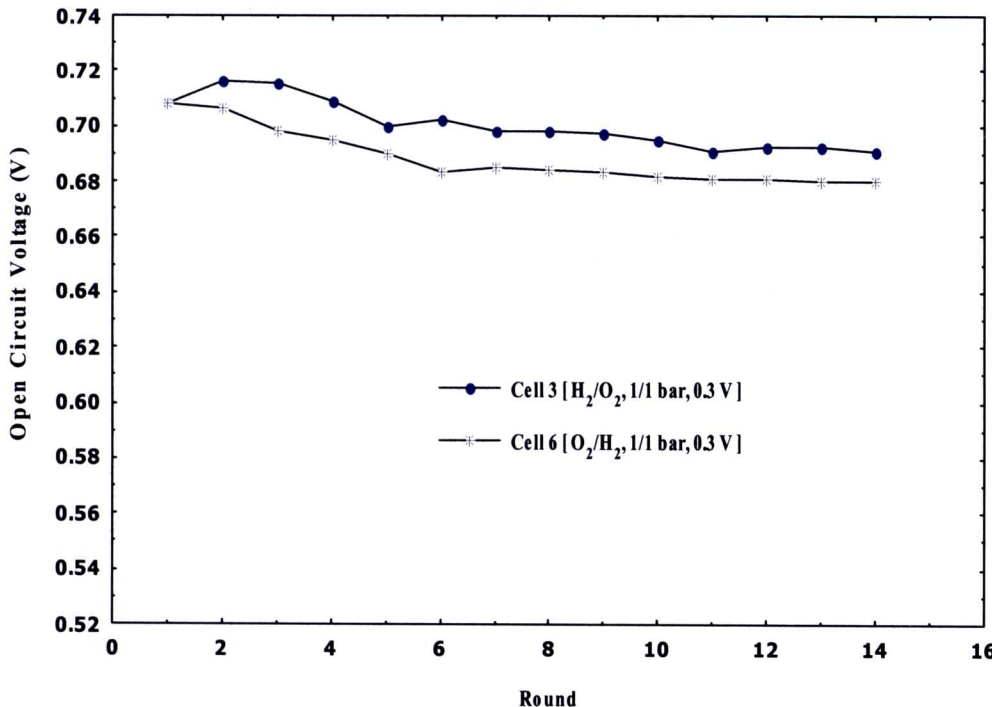
รูปที่ 4.19 กราฟโพลาไรเซชันและกราฟกำลังไฟฟ้าของเชลล์เชือเพลิง “เชลล์ 3” และ “เชลล์ 6” (ค่าเฉลี่ย)



รูปที่ 4.20 กราฟการเปลี่ยนแปลงของความหนาแน่นกระแสไฟฟ้ากับเวลา ที่ความต่างศักย์คงที่ที่ 0.3 และ 0.5 V ของเซลล์เชื้อเพลิง “เซลล์ 3” และ “เซลล์ 6”

จากรูปที่ 4.20 การเปลี่ยนแปลงของความหนาแน่นกระแสไฟฟ้ากับเวลา ที่ความต่างศักย์คงที่ที่ 0.3 และ 0.5 V จากรูปที่ 4.20 จะเห็นว่าทั้งที่ความต่างศักย์ 0.3 และ 0.5 V เซลล์ 3 และเซลล์ 6 นั้นให้ค่าความหนาแน่นกระแสไฟฟ้าคงที่กันคือ ที่ความต่างศักย์ 0.3 V ให้ค่าความหนาแน่นกระแสประมาณ $30 \text{ mA}/\text{cm}^2$ และที่ความต่างศักย์ 0.5 V ให้ค่าความหนาแน่นกระแสประมาณ $12 \text{ mA}/\text{cm}^2$ จากรูปที่ 4.21 พบร่วมกันว่า OCV ของเซลล์ 3 และเซลล์ 6 ในช่วงแรกตั้งแต่การดึงกระแสครั้งที่ 1 ถึง 7 นั้นลดลงเรื่อยๆ แต่หลังจากนั้นค่า OCV มีการเปลี่ยนแปลงน้อยลง แสดงให้เห็นว่าปริมาณของสารละลายเอทานอลที่แพร่ผ่านเมมเบรนนั้นลดลง

จากการทดลองการสับก้าชอกชิเงนป้อมเข้าขึ้นและใช้ก้าช่าไโตรเจนป้อมเข้าขึ้นแค่ trox นั้น จะเห็นว่าการกระตุนด้วยวิธีการนี้ไม่ช่วยปรับปรุงสมรรถนะการทำงานของเซลล์และค่าความหนาแน่นกำลังไฟฟ้าของเซลล์ทั้งสองที่ได้มีค่าใกล้เคียงกัน



รูปที่ 4.21 กราฟเปรียบเทียบการเปลี่ยนแปลงของ OCV ของเซลล์เชื้อเพลิง “เซลล์ 3” และ “เซลล์ 6”

4.4 การกระตุ้นเซลล์แบบหลายขั้นตอน

เมื่อพิจารณาปัจจัยที่มีผลต่อสมรรถนะการทำงานของเซลล์เชื้อเพลิงแล้ว Membrane Electrode Assembly หรือ MEA เป็นส่วนที่มีความสำคัญมาก เนื่องจากประกอบด้วยชั้นแพร่กระจายแก๊ส (Gas diffusion layer) ชั้นตัวเร่งปฏิกิริยา (Catalyst layer) และเมมเบรน ส่วนของ MEA นี้จะทำให้เซลล์เชื้อเพลิงมีสมรรถนะการทำงานที่สูงนั้น จะต้องมีค่าการส่งถ่ายอนุภาคไปตอบสนอง อิเล็กตรอนที่ดี มีการถ่ายเทนวัลสารของสารเริ่มต้น (reactant) และสารผลิตภัณฑ์ (product) ที่ดี และเมมเบรนมีความซึ้งที่เหมาะสม จากการวิจัยที่ผ่านมาของ G. Liu และคณะ [20] ที่ทำการศึกษาวิธีการกระตุ้นเซลล์แบบหลายขั้นตอน (Multi-step activation) สำหรับเซลล์เชื้อเพลิงแบบเมทานอลโดยตรง และได้เสนอวิธีการกระตุ้นเซลล์สำหรับเซลล์เชื้อเพลิงชนิดนี้ไว้ว่า การกระตุ้นเซลล์แบบหลายขั้นตอนสำหรับเซลล์เชื้อเพลิงแบบเมทานอลโดยตรง ซึ่งประกอบไปด้วยขั้นตอนที่ 1 การกระตุ้นเซลล์ด้วยสารละลายเมทานอล (Methanol activation) ขั้นตอนที่ 2 Force activation และขั้นตอนที่ 3 ซึ่งเป็นขั้นตอนสุดท้ายคือ Proton activation จะช่วยทำให้เซลล์เชื้อเพลิงมีค่าความหนาแน่นกำลังไฟฟ้าเพิ่มขึ้นเป็น 78 mW/cm^2 ซึ่งมากกว่าการกระตุ้นเซลล์ด้วยสารละลายเมทานอลเพียงขั้นตอนเดียวถึง 24 mW/cm^2 (การกระตุ้นเซลล์ด้วยสารละลายเมทานอลเพียงขั้นตอนเดียวให้ค่าความหนาแน่นกำลังไฟฟ้า 54 mW/cm^2)

G. Liu และคณะได้สรุปไว้ว่าในการกระตุ้นเซลล์ขั้นตอนแรกเป็นการเพิ่มความชื้นให้กับเมมเบรน ขั้นแรก儿กระเจาซและแนฟิออนพอลิเมอร์ในชั้นตัวเร่งปฏิกิริยาอีกรึ แลขั้นตอนนี้จะเป็นไปอย่างช้าๆ คือใช้เวลาในการกระตุ้นเซลล์ 9 ชั่วโมง โดยดึงกระแส 1-5 mA/cm² (Low current) เพื่อเปิดพื้นที่ปิดในชั้นตัวเร่งปฏิกิริยาให้การส่งถ่ายอนุภาค PROTTON และอิเล็กตรอน การถ่ายเทมวัลสารทั้งสารเริ่มต้นและสารผลิตภัณฑ์เป็นไปอย่างมีประสิทธิภาพ นอกจากนี้ยังเพื่อไม่ให้เซลล์บวนตัวเร็วจนเกินไป ในขั้นตอนที่ 2 (Force activation) นั้นมีวิธีการเหมือนขั้นตอนแรกแต่ดึงกระแสที่ประมาณ 50 mA/cm² (High current) ทำให้อหังค์ประกลบของ MEA ทำงานประสานกัน การส่งผ่านอนุภาค PROTTON และอิเล็กตรอนระหว่างขั้วแอดโนดและขั้วแคโทดเป็นไปได้อย่างดี โดยที่ไม่ทำให้โครงสร้างของ MEA เสียไป สำหรับในขั้นตอนสุดท้ายเป็นการส่งถ่ายอนุภาค PROTTON ไปยังเมมเบรน เพื่อให้เกิดสายโซ่กั่งก้านส่วนที่ชอบ PROTTON (Hydrophilic) ในเมมเบรนที่เหมาะสมต่อการส่งผ่านอนุภาค PROTTON ขั้นตอนนี้จะช่วยความต้านทานการส่งผ่านอนุภาค PROTTON ในเมมเบรนและชั้นตัวเร่งปฏิกิริยาได้

จากการทดลองในงานวิจัยนี้ จะเห็นในการกระตุ้นเซลล์ด้วยสารละลายเօธานอลนั้นทำที่ค่าความต่างศักย์ 0.3 V ซึ่งผลิตกระแสอยู่ที่ประมาณ 20-25 mA/cm² ซึ่งเป็นกระแสที่สูง ดังนั้นจากข้อสรุปจากงานวิจัยของ G. Liu นั้นการดึงกระแสที่ความต่างศักย์ 0.3 V เป็นวิธีกระตุ้นแบบ Force activation ทำให้การปรับสภาพของชั้นแรก儿กระเจาซและชั้นตัวเร่งปฏิกิริยานั้นอาจยังไม่ดีพอ พื้นที่ปิดในชั้นตัวเร่งปฏิกิริยาอย่างไม่ปิดจังเป็นผลทำให้การถ่ายเทอนุภาค PROTTON อิเล็กตรอนและการถ่ายมวลสารนั้นไม่ดี นอกจากนี้ยังทำให้โครงสร้างของ MEA เสียไปเนื่องจากเซลล์บวนตัวเร็วเกินไป ในการกระตุ้นเซลล์ในการทดลองนี้ช่วยเพียงทำให้ MEA มีความชื้นมากขึ้นเท่านั้น สำหรับการกระตุ้นเซลล์ด้วยไฮโครเจนนั้น จากรายงานของงานวิจัยที่ผ่านมาพบว่า การกระตุ้นด้วยวิธีนี้ทำให้เพิ่มการคงคีเวย์ และลดการปิดกั้นภายในชั้นแรก儿กระเจาซและชั้นตัวเร่งปฏิกิริยา เนื่องจากการปล่อยไอก๊าซไฮโครเจนและออกซิเจนเข้าไปนำพา สารที่ตกค้างออกจากรูพรุนของคาร์บอน นอกจากนี้ ไอ้น้ำที่เข้าไปในเซลล์และน้ำที่เกิดขึ้นจากปฏิกิริยาอย่างช่วยพา สารตกค้างออกไปได้ดีทางและยังช่วยให้เซลล์ชื้นขึ้น สารที่ตกค้างเหล่านี้อาจเป็นสาร Organic หรือไม่เลกูลของคาร์บอนที่ไม่เสถียรซึ่งอาจเกิดขึ้นในระหว่างการผลิตหรือปะปนในระหว่างการเก็บรักษา เมื่อรูพรุนของคาร์บอนปราศจากสารตกค้างแล้ว จะทำให้แพลตินัมบนคาร์บอนทำปฏิกิริยาได้ ซึ่งเป็นการเพิ่มพื้นที่ในการทำปฏิกิริยาให้มากขึ้น

นอกจากนี้การให้ก๊าซไฮโครเจนได้สัมผัสถกน์แพลตินัมในระหว่างการกระตุ้นเซลล์ จะช่วยทำให้แพลตินัมมีความบริสุทธิ์มากขึ้น เนื่องจากไม่เลกูลของแพลตินัมจะทำปฏิกิริยาได้เมื่อยู่ในรูปของ Pt

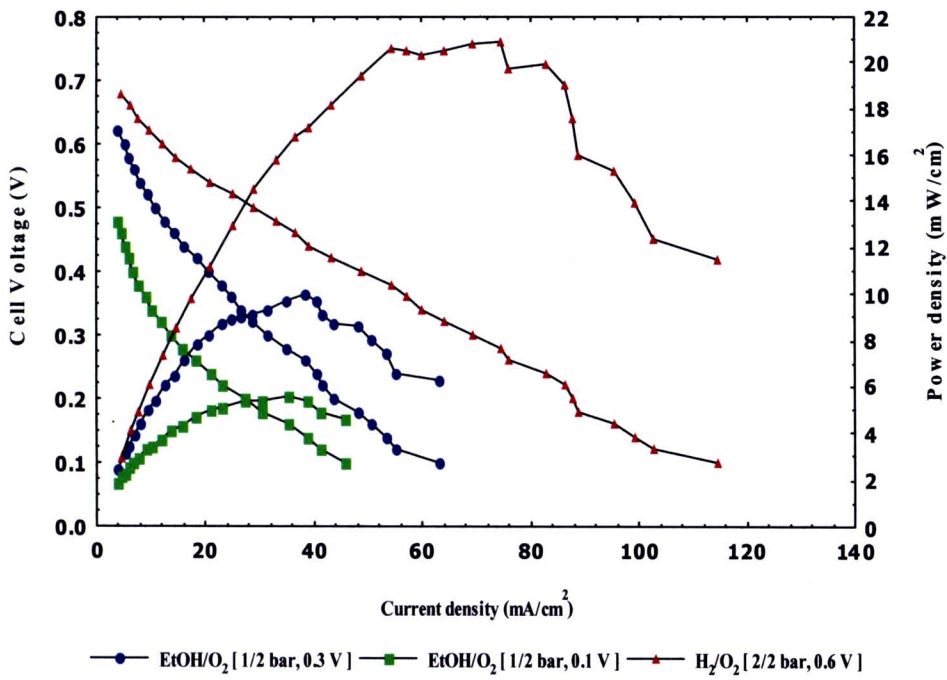
เท่านั้น แต่ในช่วงระหว่างการผลิตหรือเก็บรักษา แพลตินัมอาจเปลี่ยนรูปเป็นแพลตินัมออกไซด์ (PtO) ซึ่งเกิดจากการทำปฏิกิริยาระหว่างแพลตินัมกับออกซิเจนดังสมการ



การป้อนกําชาไฮโดรเจนจะทำให้เกิดปฏิกิริยาเร็วขึ้นโดยที่กําชาไฮโดรเจนจะไปจับกับโมเลกุลของออกซิเจนกลายเป็นน้ำ ดังสมการ



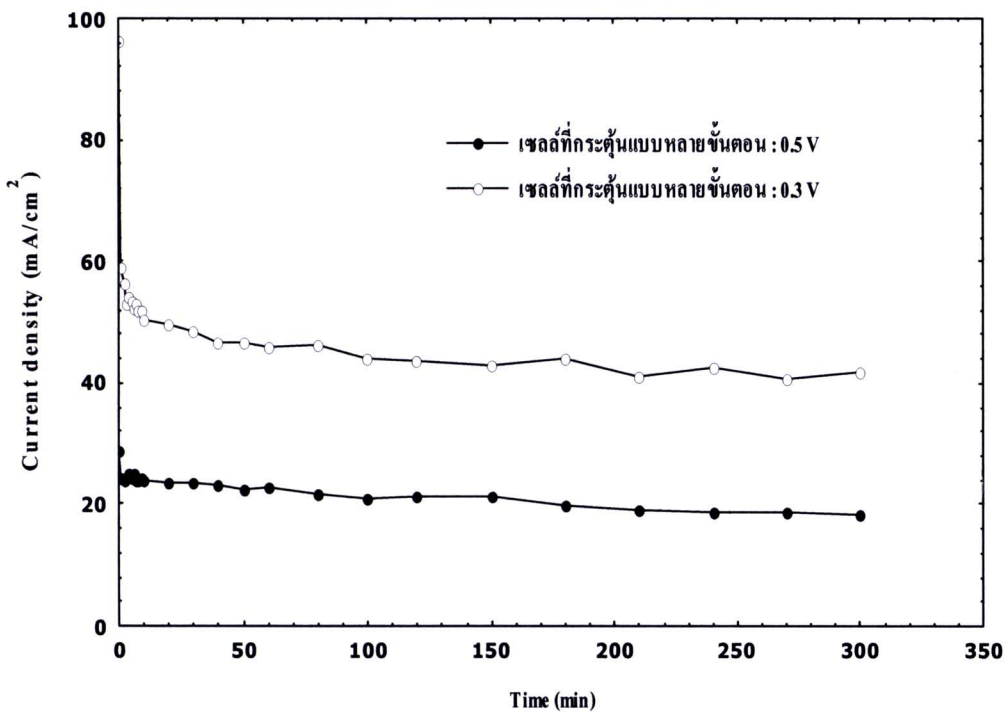
ดังนั้นการทดลองในหัวข้อนี้ จะทดสอบการกระตุ้นแบบหลายขั้นตอน โดยขั้นตอนการกระตุ้นเซลล์แบ่งตามนี้คือ ในขั้นตอนแรกทำการกระตุ้นเซลล์ด้วยสารละลายเอทานอล โดยทำการดึงกระแสที่ความต่างศักย์ 0.3 V หลังจากนั้นทำการทดสอบเซลล์เชื้อเพลิงเดียวเพื่อคุณสมบัติการทำงานของเซลล์เชื้อเพลิงหลังจากการกระตุ้นเซลล์ในขั้นตอนแรก จากนั้นนำไปกระตุ้นเซลล์ต่อด้วยขั้นตอนที่ 2 โดยกระตุ้นเซลล์ด้วยสารละลายเอทานอลและดึงกระแสที่ความต่างศักย์ 0.1 V จากนั้นทดสอบเซลล์เชื้อเพลิงเดียวเพื่อคุณสมบัติการทำงานของเซลล์ และนำไปกระตุ้นเซลล์อีกครั้งด้วยกําชาไฮโดรเจน ที่ความต่างศักย์ 0.6 V



รูปที่ 4.22 เปรียบเทียบสมรรถนะการทำงานของเซลล์เชื้อเพลิงเมื่อสมรรถนะการทำงานมีค่าสูงสุด
ภายหลังได้รับการกระตุ้นเซลล์ในแต่ละขั้นตอน

จากรูปที่ 4.22 พบร่วมกันว่าเมื่อทำการทดสอบเซลล์เชื้อเพลิงเดี่ยวภายหลังที่เซลล์ได้รับการกระตุ้นแล้ว ค่าความหนาแน่นกำลังไฟฟ้าของเซลล์หลังจากการกระตุ้นในขั้นตอนที่ 2 จะมีค่าลดลงเล็กน้อยจากค่าความหนาแน่นกำลังไฟฟ้าของเซลล์หลังจากการกระตุ้นในขั้นตอนแรก และภายหลังการกระตุ้นเซลล์ในขั้นตอนที่ 3 ก็จะพบว่าค่าความหนาแน่นกำลังไฟฟ้ามีค่าเพิ่มขึ้นอย่างมากและมากกว่าเซลล์ที่ได้รับการกระตุ้นในตอนแรกประมาณ $10 \text{ mW}/\text{cm}^2$ เนื่องจากในขั้นตอนแรกการกระตุ้นเซลล์ด้วยสารละลายเอทานอลด้วยความต่างศักย์ต้านออกจากรูปแบบเดิมเพิ่มความชื้นให้กับเซลล์แล้วยังป้องกันการเสียรูปของ MEA ที่เป็นผลมาจากการบวมตัวของเร็ว และทำให้พื้นที่ปิดในชั้นแพร่กระจายก้าชและในชั้นตัวเร่งปฏิกิริยาเปิดออกเพื่อให้การถ่ายเทอนุภาคไปตอบสนองและอิเล็กตรอนรวมถึงการถ่ายเทน้ำสารของสารเริ่มต้นและสารผลิตภัณฑ์เป็นได้อย่างสะดวก ขณะที่การกระตุ้นเซลล์ในขั้นตอนต่อมาค่าความหนาแน่นกำลังไฟฟ้ามีค่าลดลง อาจมีสาเหตุจากการที่ MEA เสียรูปไปบ้างเล็กน้อยเนื่องจากเป็นการเพิ่มอัตราการเกิดปฏิกิริยาด้วยการดึงกระแสไฟฟ้าที่ความต่างศักย์ต่างๆ แต่จากการที่ MEA ผ่านการกระตุ้นเซลล์ในขั้นตอนแรกมาแล้ว ดังนั้น MEA ค่อยข้างคงตัวแล้ว และการกระตุ้นเซลล์ในขั้นตอนที่ 2 จะไม่ไปเปลี่ยนรูปของ MEA มากนัก แต่จะช่วยทำให้การถ่ายเทน้ำสารมีประสิทธิภาพมากขึ้น ส่วนในขั้นตอนการกระตุ้นเซลล์สุดท้ายด้วยก้าชไฮโดรเจนนั้น นอกจากจะช่วยกำจัดสิ่งเจือปนหรือสารที่ตกค้างภายในชั้นแพร่กระจายก้าชและในชั้นตัวเร่งปฏิกิริยาแล้ว ขั้นตอนนี้ยังช่วยเพิ่มโปรดอนให้กับเมมเบรนด้วย เนื่องจากเมมเบรนสูญเสียน้ำไปในขั้นตอนการ Hot-pressing เป็นการเพิ่มความ

เป็น Hydrophilic ให้มากขึ้นและช่วยเพิ่ม โครงข่ายของช่องการถ่ายเทอนุภาค โปรตอนภายใน MEA สร้างผลให้การถ่ายเทอนุภาค โปรตอนมีประสิทธิภาพ นอกจากนี้กราฟการเปลี่ยนแปลงความหนาแน่นของกระแสเทียบกับเวลา ดังรูปที่ 4.23 จะเห็นว่าที่ ความต่างศักย์ 0.3 V เชลล์เชือเพลิงให้ความหนาแน่นของกระแสประมาณ 42 mA/cm^2 ขณะที่ความต่างศักย์ 0.5 V ให้ความหนาแน่นของกระแสประมาณ 22 mA/cm^2 ซึ่งเชลล์เชือเพลิงที่กระตุ้นเชลล์เชือแบบหลายขั้นตอนนี้จะให้ความหนาแน่นกระแสมากกว่าของเชลล์เชือเพลิงที่กระตุ้นเชลล์เชือแบบขั้นตอนเดียวที่ให้ความหนาแน่นกระแสประมาณ 30 และ 12 mA/cm^2 ที่ความต่างศักย์ 0.3 และ 0.5 V ตามลำดับ ดังนั้นเชลล์ที่ผ่านการกระตุ้นทั้ง 3 ขั้นตอนมาแล้วจึงมีสมรรถนะการทำงานที่ดีกว่าเชลล์ที่ได้รับการกระตุ้นเชลล์เพียงขั้นตอนใดขั้นตอนหนึ่งเท่านั้น



รูปที่ 4.23 กราฟการเปลี่ยนแปลงของความหนาแน่นกระแสเทียบกับเวลา ที่ความต่างศักย์คงที่ที่ 0.3 และ 0.5 V ของเชลล์เชือเพลิงที่ได้รับการกระตุ้นแบบหลายขั้นตอน

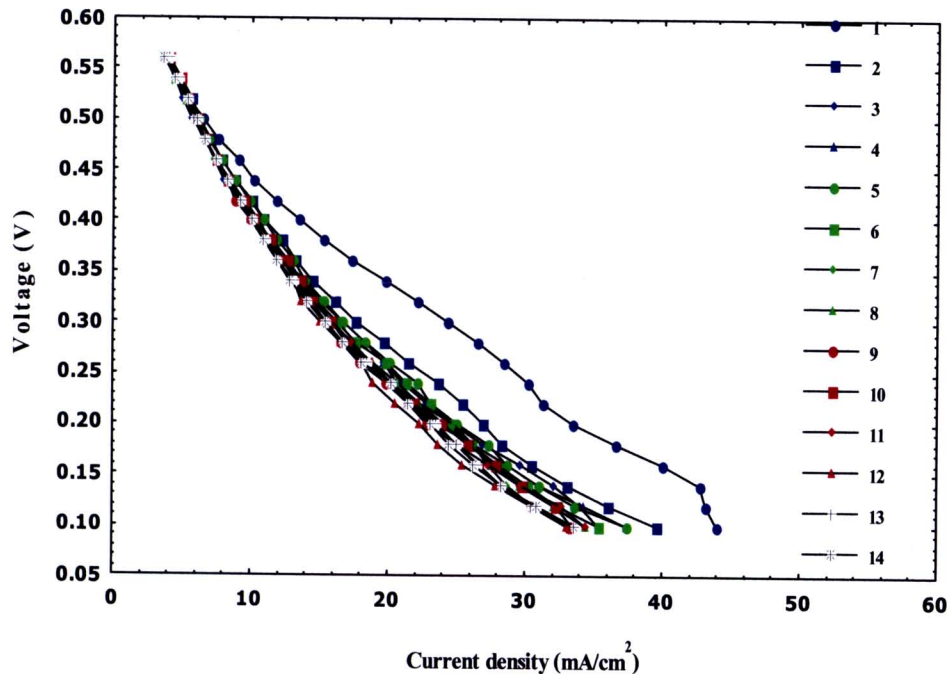
4.5 สาเหตุที่ทำให้สมรรถนะการทำงานของเซลล์เชือเพลิงแบบโซนอลโดยตรงลดลง

4.5.1 สารละลายนอกแพร์ผ่านเมมเบรน (Crossover) จากด้านแอโนดไปยังด้านแค็ปติก

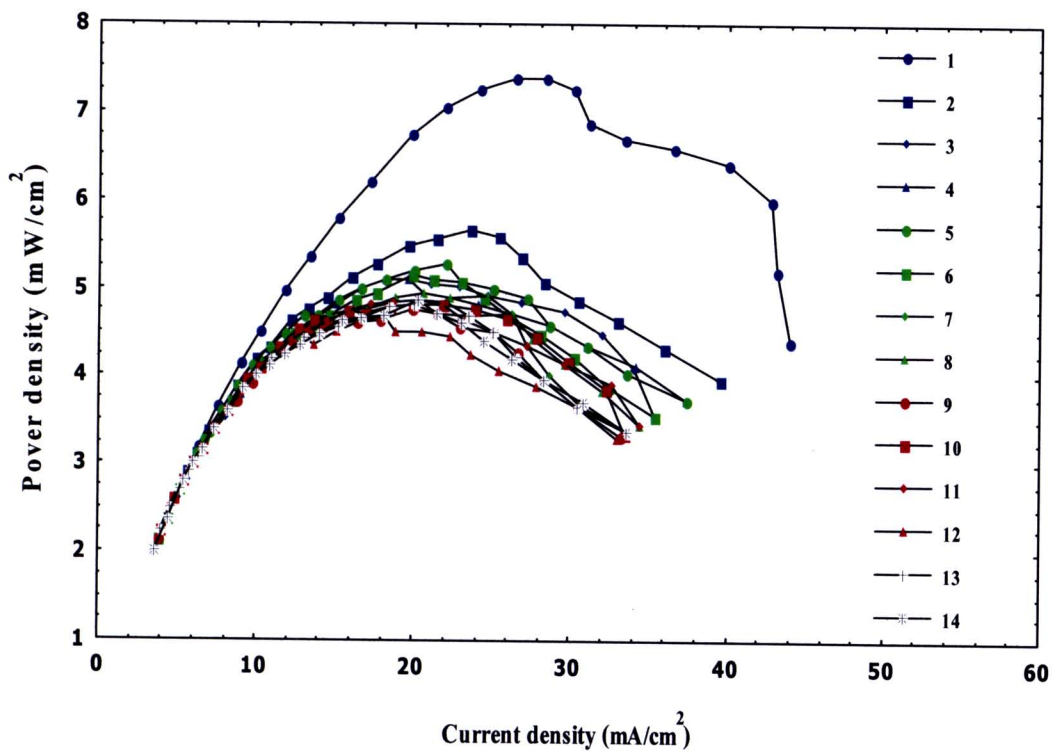
ในการทดลองเพื่อศึกษาการแพร์ผ่านเมมเบรนของสารละลายนอกโซนอล สามารถทำได้โดยการทดสอบเซลล์เชือเพลิงเดียวเพื่อสังเกตการเปลี่ยนแปลงของ Open Circuit Voltage (OCV) ในหัวข้อนี้จะใช้เซลล์ 4 ในการทดสอบ โดยในการทดสอบเซลล์เชือเพลิงเดียวจะกระทำที่สภาวะชั่วคราวเดียวกับการทดสอบเซลล์เชือเพลิงเดียวตามหัวข้อการทดสอบในบทที่ 3 โดยขั้นตอนในการทดสอบเพิ่มเป็นดังนี้คือกำหนดให้การทดสอบที่ 1 ทำการทดสอบเซลล์เชือเพลิงโดยดึงกระแสทั้งหมด 14 ครั้งและระหว่างการดึงกระแสแต่ละครั้งให้ทำการเปิด OCV คั่นระหว่างครั้งเป็นเวลา 10 นาที ขณะที่การทดสอบที่ 2 ทำการทดสอบเซลล์เชือเพลิงโดยดึงกระแสทั้งหมด 14 ครั้งอย่างต่อเนื่อง (ไม่เปิด OCV คั่นระหว่างครั้งของการดึงกระแส)

จากราฟโพลาไรซ์ชั่นและการฟค่าวนหนาแน่นกำลังไฟฟ้าของเซลล์เชือเพลิงที่ทำการทดสอบเซลล์เชือเพลิงเดียวแบบเปิด OCV คั่นระหว่างครั้งของการดึงกระแส ตามรูปที่ 4.24 และ 4.25 ตามลำดับพบว่าสมรรถนะการทำงานของเซลล์จะลดลงตามลำดับจนถึงการดึงกระแสครั้งที่ 9 สมรรถนะการทำงานของเซลล์เชือเพลิงจะเริ่มคงที่ ซึ่งแตกต่างจากการทดสอบเซลล์เชือเพลิงเดียวแบบไม่เปิด OCV คั่น (ดึงกระแสอย่างต่อเนื่องตั้งแต่ครั้งที่ 1- 14) ตามรูปที่ 4.26 และ 4.27 จากราฟโพลาไรซ์ชั่นและการฟค่าวนหนาแน่นกำลังไฟฟ้าของการทดสอบแบบไม่เปิด OCV คั่นนี้จะพบว่า สมรรถนะการทำงานของเซลล์เชือเพลิงจะค่อยข้างคงที่คือมีการเปลี่ยนแปลงของความหนาแน่นกำลังไฟฟ้าอยู่ในช่วง 7.5 mW/cm^2 ถึง 9.0 mW/cm^2

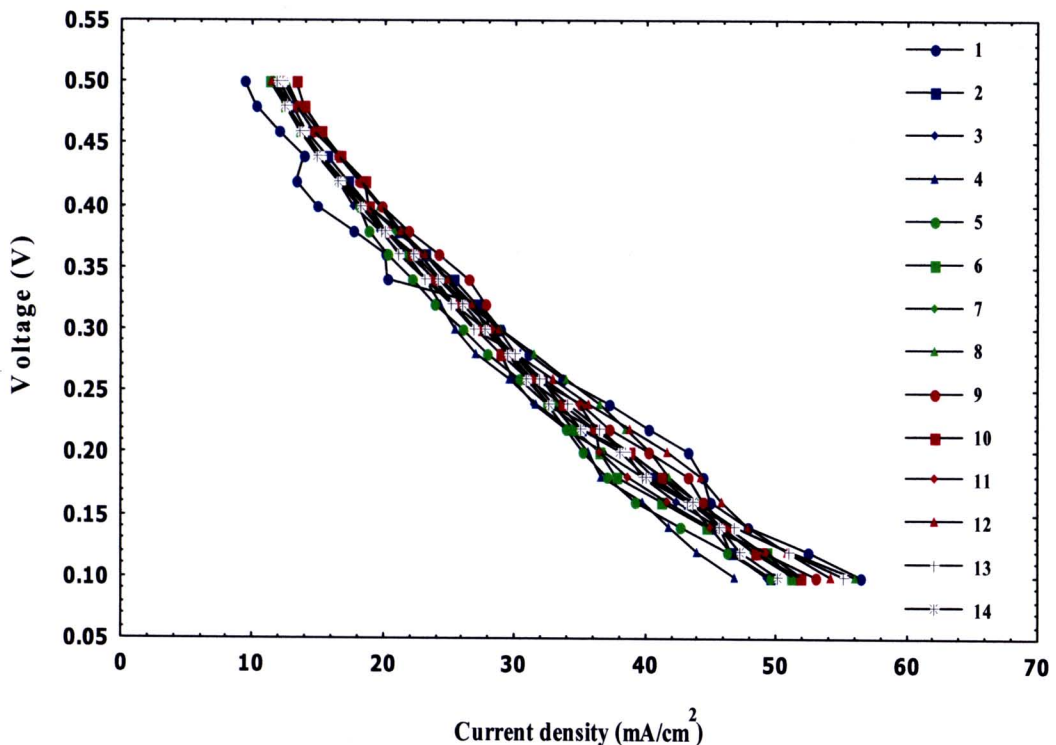
จากการทดลองทดสอบเซลล์เชือเพลิงทั้งสองแบบนี้ จะเห็นได้ว่าความแตกต่างที่เกิดขึ้นเป็นผลมาจากการเปิดและไม่เปิด OCV คั่นระหว่างครั้งที่ทำการดึงกระแส การทดสอบเซลล์เชือเพลิงแบบเปิด OCV คั่นนี้ สมรรถนะการทำงานของเซลล์เชือเพลิงจะลดลงเรื่อยๆ เนื่องจากระหว่างที่ทำการเปิด OCV คั่นนี้ บริเวณชั้นตัวเร่งปฏิกริยาของขั้วแอโนดจะมีความเข้มข้นของสารละลายนอกจากขั้วแอโนดไปยังขั้วแค็ปติกเพิ่มมากขึ้น ขณะที่การทดสอบเซลล์เชือเพลิงแบบไม่เปิด OCV คั่นนี้ การดึงกระแสเป็นไปอย่างต่อเนื่อง ทำให้สารละลายนอกถูกใช้ไปอย่างต่อเนื่อง ไม่มีการสะสมความเข้มข้นในชั้นตัวเร่งปฏิกริยาที่ขั้วแอโนด ดังนั้นปริมาณการแพร์ผ่านเมมเบรนของสารละลายนอกจึงไม่เพิ่มมากขึ้น



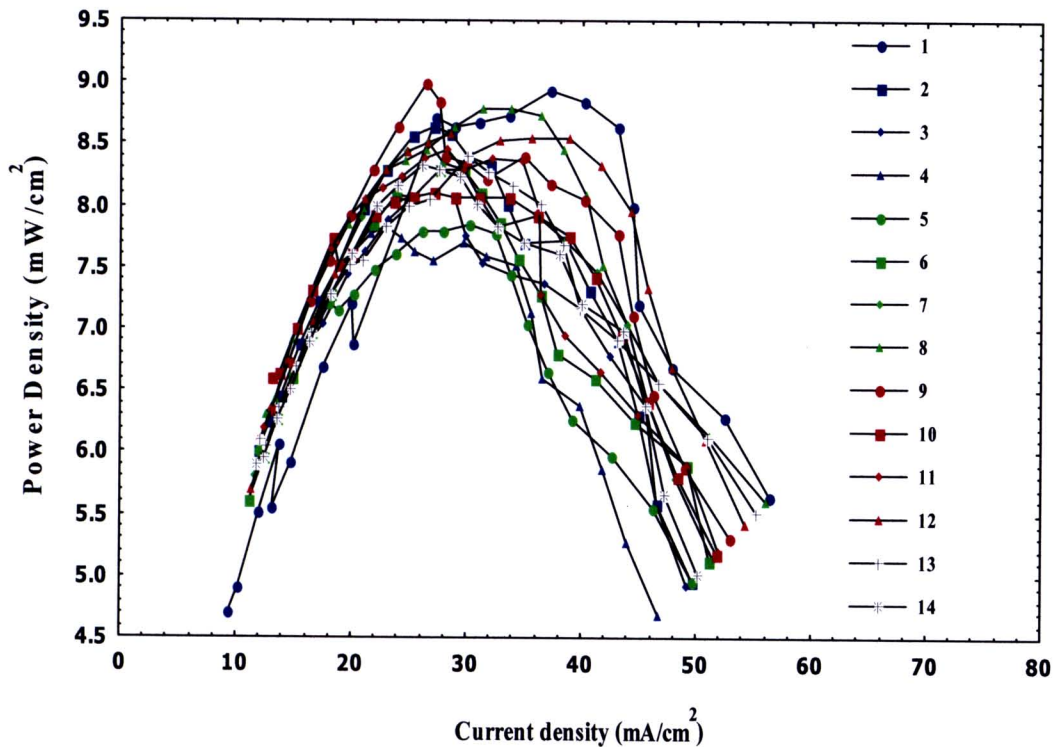
รูปที่ 4.24 กราฟโพลาริเซชันของเซลล์เชือเพลิงที่ทดสอบเซลล์เชือเพลิงเดี่ยวแบบเปิด OCV คัน



รูปที่ 4.25 กราฟกำลังไฟฟ้าของเซลล์เชือเพลิงที่ทดสอบเซลล์เชือเพลิงเดี่ยวแบบเปิด OCV คัน



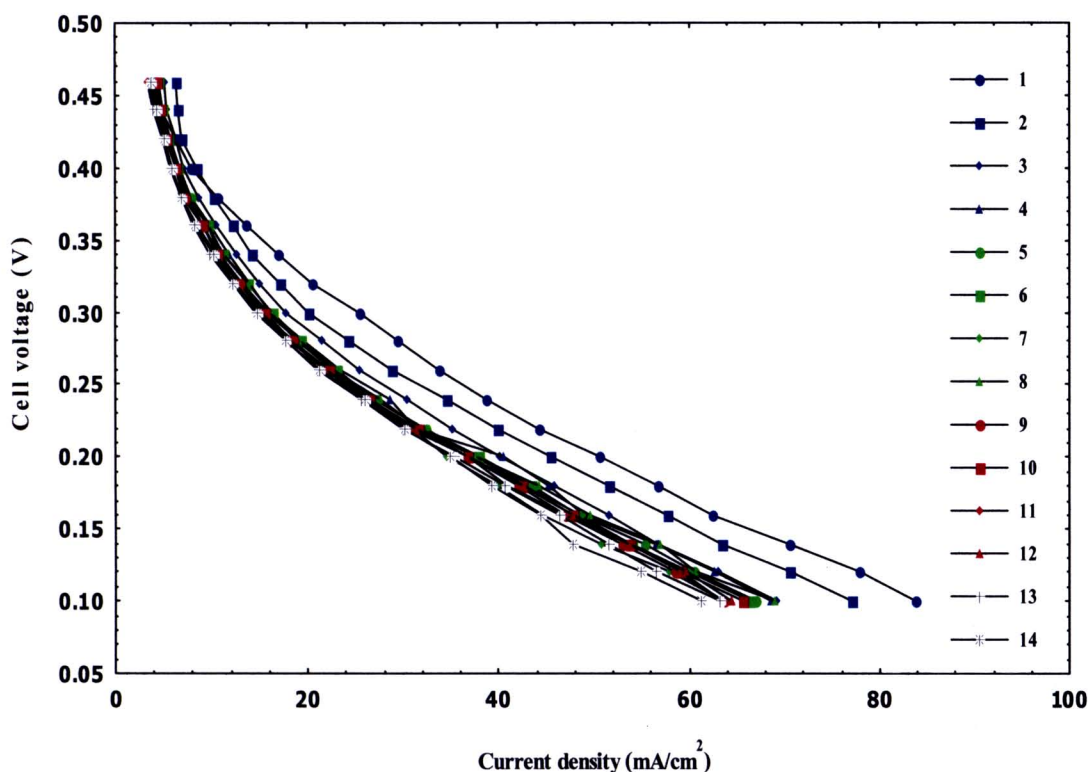
รูปที่ 4.26 กราฟกำลังไฟฟ้าของเซลล์เชื้อเพลิงที่ทดสอบบนเซลล์เชื้อเพลิงเดี่ยวแบบไม่เปิด OCV คัน



รูปที่ 4.27 กราฟกำลังไฟฟ้าของเซลล์เชื้อเพลิงที่ทดสอบบนเซลล์เชื้อเพลิงเดี่ยวแบบไม่เปิด OCV คัน

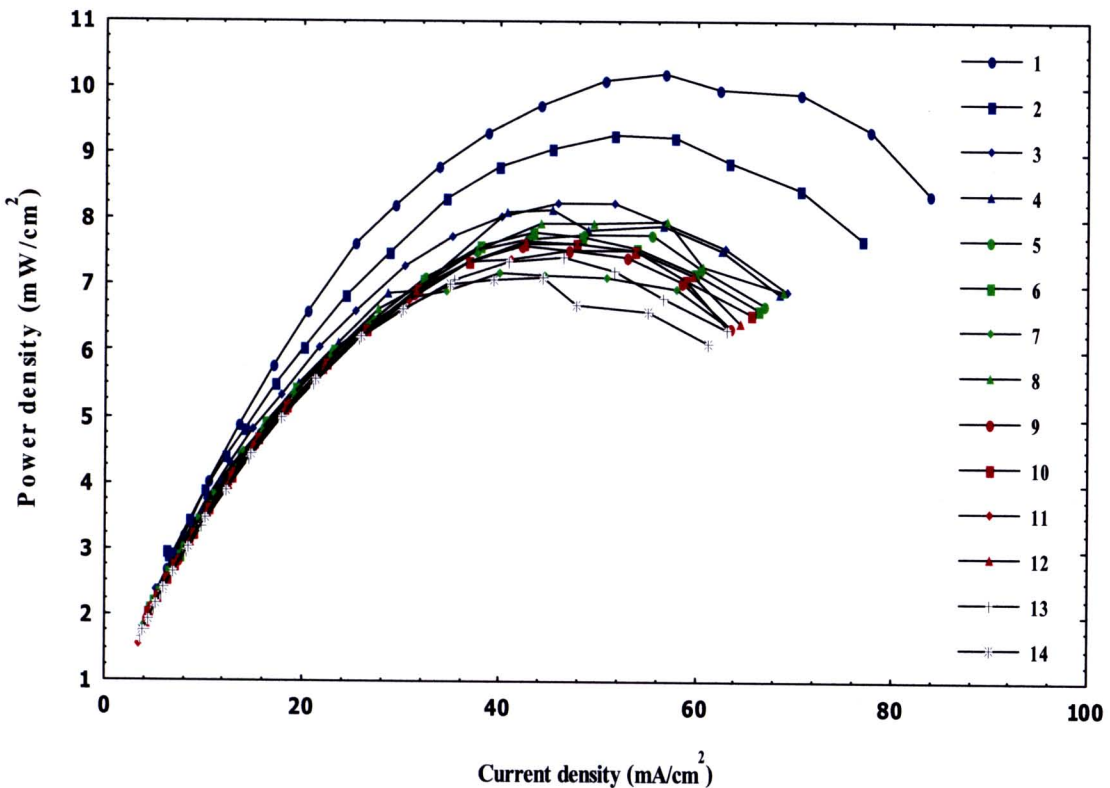
4.5.2 Sn บนตัวเร่งปฏิกิริยา Pt₃Sn₁/C ไม่ทำงานหรือทำงานได้น้อยลง

สำหรับสมมติฐานต่อมาที่อาจเป็นสาเหตุหลักที่ทำให้สมรรถนะการทำงานของเซลล์เชื้อเพลิงลดลงคือ การทำงานของ Sn บนตัวเร่งปฏิกิริยา Pt₃Sn₁/C นั้น ไม่สามารถทำงานได้เต็มประสิทธิภาพ ทำให้ตัวเร่งปฏิกิริยา Pt₃Sn₁/C เป็นเสมือนเพียงตัวเร่งปฏิกิริยาที่ไม่มี Sn หรือ Pt/C ดังนั้นในการพิสูจน์สมมติฐานนี้ จึงทำการเตรียมเซลล์เชื้อเพลิงโดยเปลี่ยนตัวเร่งปฏิกิริยาของขึ้วแอโนดจาก Pt₃Sn₁/C เป็นตัวเร่งปฏิกิริยา Pt/C ส่วนขึ้วแคโทดยังคงเดิม ในการเตรียมเซลล์เชื้อเพลิงนี้ สำหรับตัวเร่งปฏิกิริยา Pt/C นั้น ใช้ของบริษัท E-TEK ซึ่งมีปริมาณแพตตินัม 20 wt% และเตรียมให้มีปริมาณ Pt loading เท่ากันในเซลล์เชื้อเพลิงที่ใช้ตัวเร่งปฏิกิริยา Pt₃Sn₁/C คือเท่ากับ 1.3 mgPt/cm² ในการกระตุ้นเซลล์สำหรับเซลล์เชื้อเพลิงทดสอบนี้ จะใช้การกระตุ้นเซลล์ด้วยก๊าซไฮโดรเจนตามการทดลองเซลล์ 2 เป็นแบบการทดลองคือป้อนก๊าซไฮโดรเจนเข้าขึ้วแอโนด ที่ความดันสัมบูรณ์ 1 บรรยากาศ และป้อนก๊าซออกซิเจนเข้าขึ้วแคโทด ที่ความดันสัมบูรณ์ 1 บรรยากาศ ทำการดึงกระแสที่ความต่างศักย์คงที่ที่ 0.6 V อุณหภูมิของเซลล์ 80 °C



รูปที่ 4.28 กราฟโพลาไรเรชั่นของเซลล์ทดลองสมมติฐาน แอโนด (Pt/C) ป้อนก๊าซไฮโดรเจน ความดันสัมบูรณ์ 1 บรรยากาศ, แคโทด (Pt/C) ป้อนก๊าซออกซิเจน ความดันสัมบูรณ์ 1 บรรยากาศ, ดึงกระแสที่ความต่างศักย์คงที่ที่ 0.6 V, อุณหภูมิของเซลล์ 80 °C

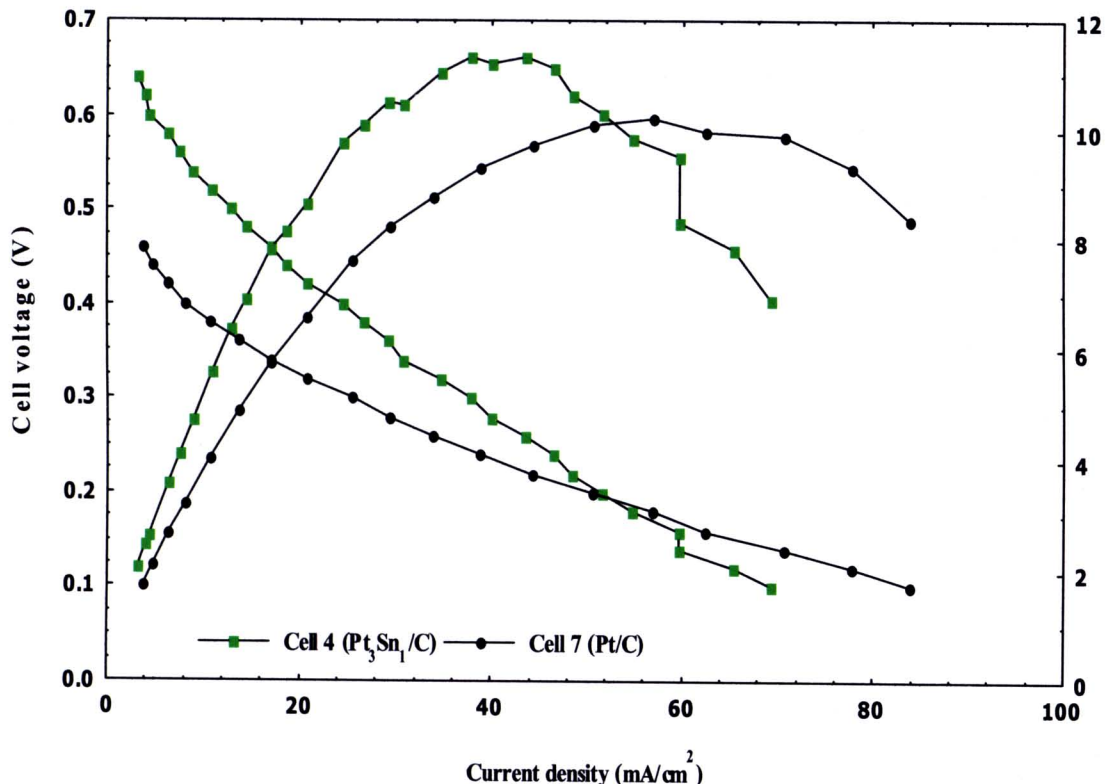
จากกราฟโพลาไรเรชั่น รูปที่ 4.28 เชลล์ทดสอบสมมติฐาน สามารถผลิตกระแสไฟฟ้าได้สูงสุด 25.4 mA/cm^2 ที่ความต่างศักย์ที่ 0.3 V ใน การดึงกระแสครั้งที่แรกและผลิตกระแสไฟฟ้าได้ต่ำสุด 14.6 mA/cm^2 ใน การดึงครั้งที่ 13 ใน การดึงกระแสครั้งแรก เชลล์ทดสอบสมมติฐาน ให้ความหนาแน่นกำลังไฟฟ้า 10.224 mW/cm^2 ซึ่งเป็นค่าที่สูงสุด จากนั้นความหนาแน่นกำลังไฟฟ้าจะลดลงเรื่อยๆ ความหนาแน่นของกำลังไฟฟ้าจะเริ่มนีการเปลี่ยนแปลงน้อยมากและมีค่าต่ำสุดที่ 7.104 mW/cm^2 ใน การดึงครั้งที่ 14 ตามรูปที่ 4.29



รูปที่ 4.29 กราฟกำลังไฟฟ้าของเชลล์ทดสอบสมมติฐาน แอโนнд (Pt/C) ป้อนก๊าซไฮโดรเจน ความดันสัมบูรณ์ 1 บาร์ยากาศ, แคโทด (Pt/C) ป้อนก๊าซออกซิเจน ความดันสัมบูรณ์ 1 บาร์ยากาศ, ดึงกระแสที่ความต่างศักย์คงที่ที่ 0.6 V , อุณหภูมิของเชลล์ 80°C

เนื่องด้วยในเชลล์เชือเพลิงที่มีตัวเร่งปฏิกิริยาเป็นแพลตินัม เมื่อทำปฏิกิริยากับสารละลายເອຫາanol จะเกิดความเป็นพิษขึ้นบนตัวเร่งปฏิกิริยาแพลตินัม ทำให้สมรรถนะการทำงานของเชลล์เชือเพลิงลดลง ดังนั้นในการจะเปรียบเทียบสมรรถนะการทำงานของเชลล์ 4 และเชลล์ทดสอบสมมติฐานนั้นว่าเชลล์ 4 ซึ่งมีตัวเร่งปฏิกิริยาเป็น $\text{Pt}_3\text{Sn}_1/\text{C}$ มีพฤติกรรมแสดงตัวเร็วเมื่อเป็นตัวเร่งปฏิกิริยา Pt/C เนื่องจาก Sn ในตัวเร่งปฏิกิริยา $\text{Pt}_3\text{Sn}_1/\text{C}$ นั้นทำงานได้ไม่เต็มประสิทธิภาพ จะต้องใช้ค่าสมรรถนะการทำงาน

ของเซลล์เชือเพลิงในครั้งหลังสุดของการทดสอบเซลล์เชือเพลิงเดียวคือครั้งที่ 14 เปรียบเทียบกับค่าสมรรถนะการทำงานของเซลล์เชือเพลิงในครั้งแรกของเซลล์ทดสอบสมมติฐาน



รูปที่ 4.30 เปรียบเทียบสมรรถนะการทำงานของเซลล์ 4 และเซลล์ทดสอบสมมติฐาน

จากราฟเปรียบเทียบสมรรถนะการทำงานของเซลล์ทั้งสองตามในรูปที่ 4.30 เราจะเห็นว่าเซลล์ 4 ให้ค่าความหนาแน่นกำลังไฟฟ้ามากกว่าค่าความหนาแน่นกำลังไฟฟ้าของเซลล์ทดสอบเล็กน้อย แต่เนื่องจาก Pt ในตัวเร่งปฏิกิริยา Pt/C ของเซลล์ทดสอบสมมติฐานมีพื้นที่ผิวในการทำปฏิกิริยามากกว่า Pt ในตัวเร่งปฏิกิริยา Pt₃Sn₁/C ของเซลล์ 4 ดังนั้น ถ้า Sn ในตัวเร่งปฏิกิริยา Pt₃Sn₁/C ไม่สามารถทำงานได้อย่างที่ต้องสมมติฐานไว้ ประสิทธิภาพของเซลล์ 4 ควรมีค่าน้อยกว่าเซลล์ทดสอบ ดังนั้นสมมติฐานที่ว่า Sn ในตัวเร่งปฏิกิริยา Pt₃Sn₁/C ของเซลล์ 4 ไม่ทำงานนั้นจึงเป็นไปไม่ได้

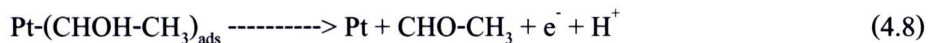
4.5.3 การเกิดพิษ (Poison) บนตัวเร่งปฏิกิริยา Pt₃Sn₁/C

จากราฟ功率ไพรเซชันและกราฟความหนาแน่นกำลังไฟฟ้าของเซลล์เชือเพลิงที่ผ่านมาจะเห็นว่า สมรรถนะการทำงานของเซลล์จะลดลงเรื่อยๆ หลังจากมีการป้อนเชือเพลิงเข้าสู่เซลล์และสมรรถนะ

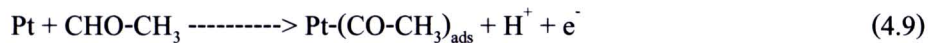
การทำงานของเซลล์จะเริ่มคงที่หลังจากทำการดึงกระแสไฟรับระยะเวลาหนึ่ง จากกลไกการเกิดปฏิกิริยา ออกซิเดชันของสารละลายเอทานอลดังสมการ [17,22]



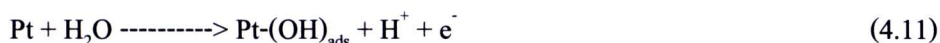
จะเห็นว่าเอทานอลสามารถทำปฏิกิริยาออกซิเดชันกับตัวเร่งปฏิกิริยา Pt ได้สองทาง คือการดูดซับบนตัวเร่งปฏิกิริยาผ่านอะตอนของออกซิเจนหรืออะตอนของคาร์บอน ดังสมการที่ 4.5 และ 4.6 จากนั้นผลิตภัณฑ์ที่ได้ทำปฏิกิริยาต่อได้เป็น Acetaldehyde ดังสมการที่ 4.7 และ 4.8



Acetaldehyde นี้สามารถถอดลับเข้าไปดูดซับบนตัวเร่งปฏิกิริยา Pt ได้อีกและเกิดผลิตภัณฑ์เป็น $\text{Pt-(CO-CH}_3)_\text{ads}$ ดังสมการที่ 4.9 และเกิดปฏิกิริยาต่อได้ผลิตภัณฑ์เป็น $\text{Pt-(CO)}_\text{ads}$ ดังสมการที่ 4.10



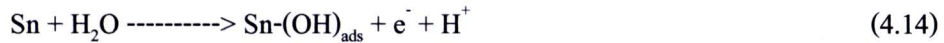
ผลิตภัณฑ์ $\text{Pt-(CO)}_\text{ads}$ ที่เกิดขึ้นจากปฏิกิริยาทำให้ตัวเร่งปฏิกิริยาสกปรกและไม่สามารถทำปฏิกิริยากับสารละลายเอทานอลที่เข้ามาใหม่ได้ แต่การดึงกระแสไฟรับที่ความต่างศักย์สูงนี้ ตัวเร่งปฏิกิริยา Pt สามารถทำปฏิกิริยากับน้ำได้เป็น $\text{Pt-(OH)}_\text{ads}$ ดังสมการที่ 4.11 ซึ่งหมู่ $-\text{OH}_\text{ads}$ ที่เกิดขึ้นสามารถเข้าไปเกิดปฏิกิริยากับ $\text{Pt-(CO)}_\text{ads}$ แล้วดึง CO ออกจากตัวเร่งปฏิกิริยาได้เป็นก๊าซคาร์บอนไดออกไซด์ (CO_2) ดังสมการที่ 4.12



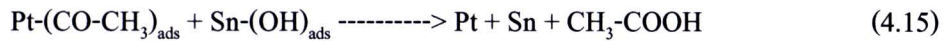
นอกจากนี้ Pt-(OH)_{ads} ยังสามารถทำปฏิกิริยา Acetaldehyde และได้เป็น Acetic acid ดังสมการที่ 4.13



ขณะที่ในการดึงกระแสไฟฟ้า ความต่างศักย์ต่ำ Sn สามารถเกิดปฏิกิริยากับน้ำได้เป็น Sn-(OH)_{ads} ดังสมการที่ 4.14



และ Sn-(OH)_{ads} ที่เกิดขึ้นจะเข้าไปทำปฏิกิริยาต่อกับ Pt-(CO-CH₃)_{ads} ให้ผลิตภัณฑ์เป็น Acetic acid ดังสมการที่ 4.15



จากการทดลองทางเคมีที่แสดงไว้ข้างต้น เมื่อเซลล์เชือเพลิงมีการดึงกระแสไฟฟ้า ระยะเวลานี้แล้ว อัตราของการดูดซับมีค่าเท่ากับอัตราของการ decay ของ -(CO)_{ads} ทำให้สามารถทำงานของเซลล์เชือเพลิงมีค่าลดลงและเริ่มคงที่ ดังนั้นการเกิดพิษขึ้นบนตัวเร่งปฏิกิริยา จึงเป็นอีกสาเหตุหนึ่งที่ทำให้สามารถทำงานของเซลล์เชือเพลิงมีค่าลดลง